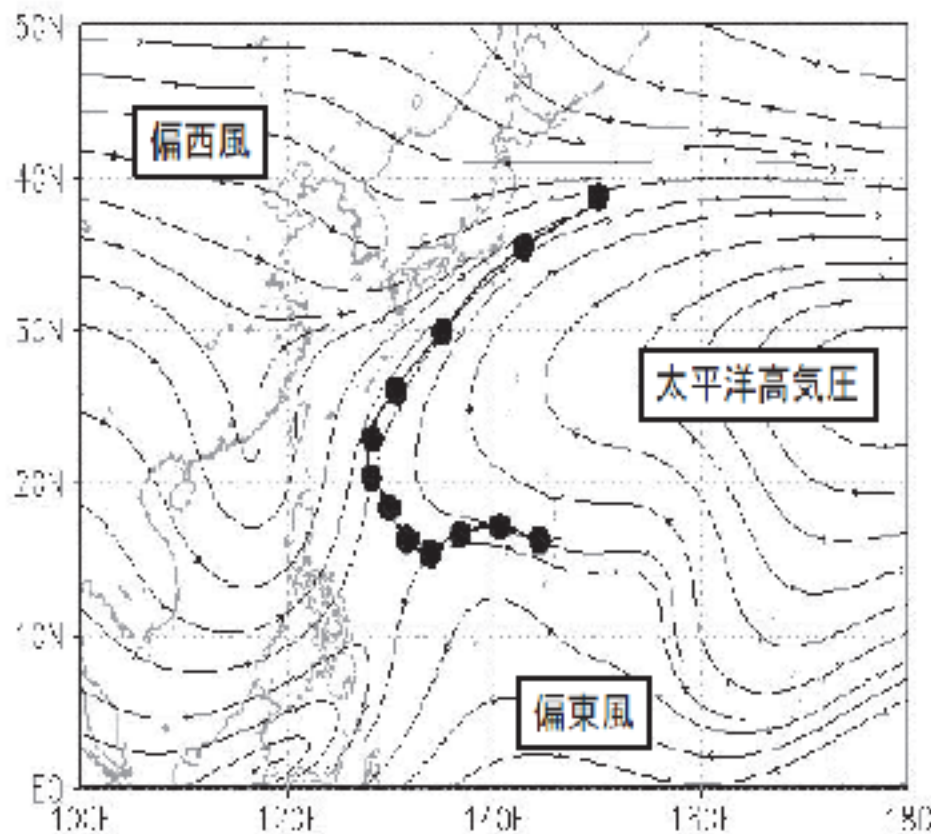


Part 3 台風ライクな水平2次元渦

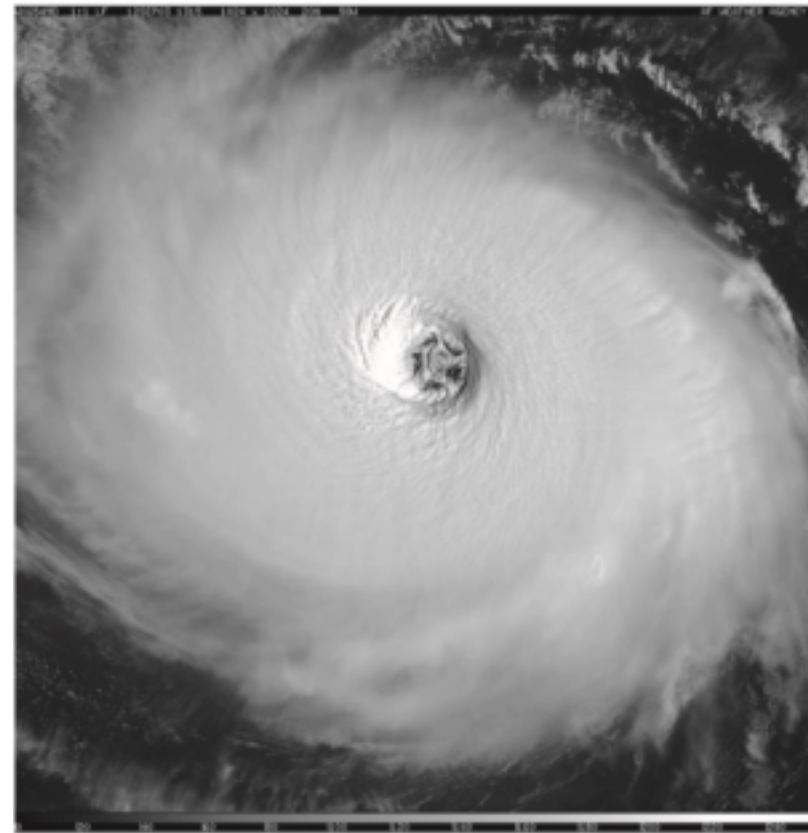
上から見ても台風は興味深い

- 台風の進路
指向流・ベータジャイアなど



(筆保・伊藤・山口, 2014)

- 台風の構造
多角形眼(メソ渦)
レインバンドなど



(Kossin and Schubert, 2004)

**まずは簡単な渦度方程式から
始めてみる**

水平2次元非発散渦度方程式

- 簡単のために、以下のような2次元の流れを考える

$$\frac{\partial v_x}{\partial t} + v_x \frac{\partial v_x}{\partial x} + v_y \frac{\partial v_x}{\partial y} - fv_y = - \frac{\partial \Phi}{\partial x} \quad (1)$$

$$\frac{\partial v_y}{\partial t} + v_x \frac{\partial v_y}{\partial x} + v_y \frac{\partial v_y}{\partial y} + fv_x = - \frac{\partial \Phi}{\partial y} \quad (2)$$

- $\partial(2)/\partial x - \partial(1)/\partial y$ を計算すると

$$\frac{\partial \zeta}{\partial t} + v_x \frac{\partial \zeta}{\partial x} + v_y \frac{\partial \zeta}{\partial y} + (f + \zeta)(\nabla \cdot \mathbf{v}) + v_x \frac{df}{dy} = 0$$

- 非発散($\nabla \cdot \mathbf{v} = 0$)であることを仮定すると、

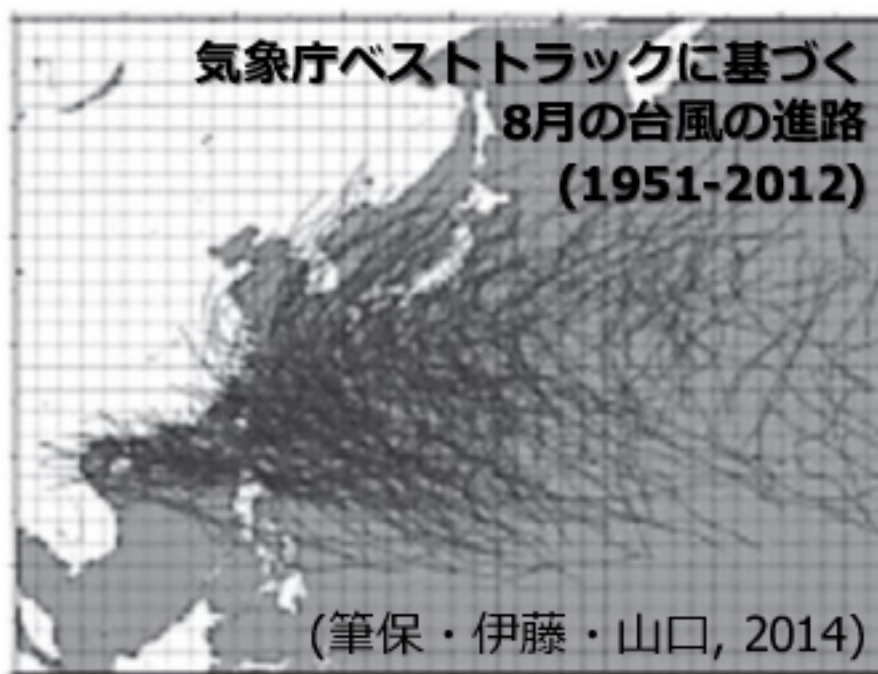
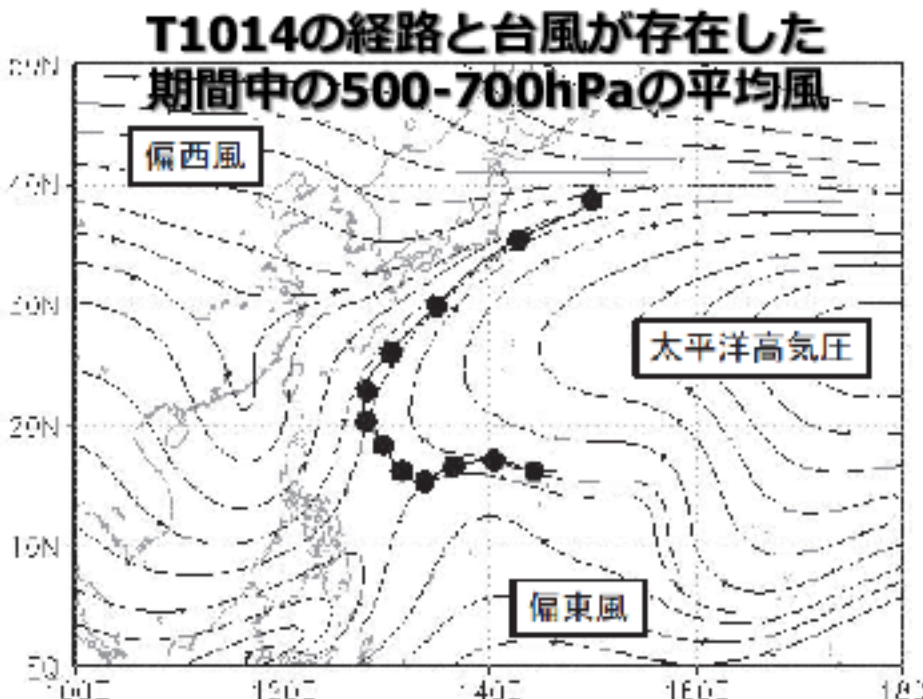
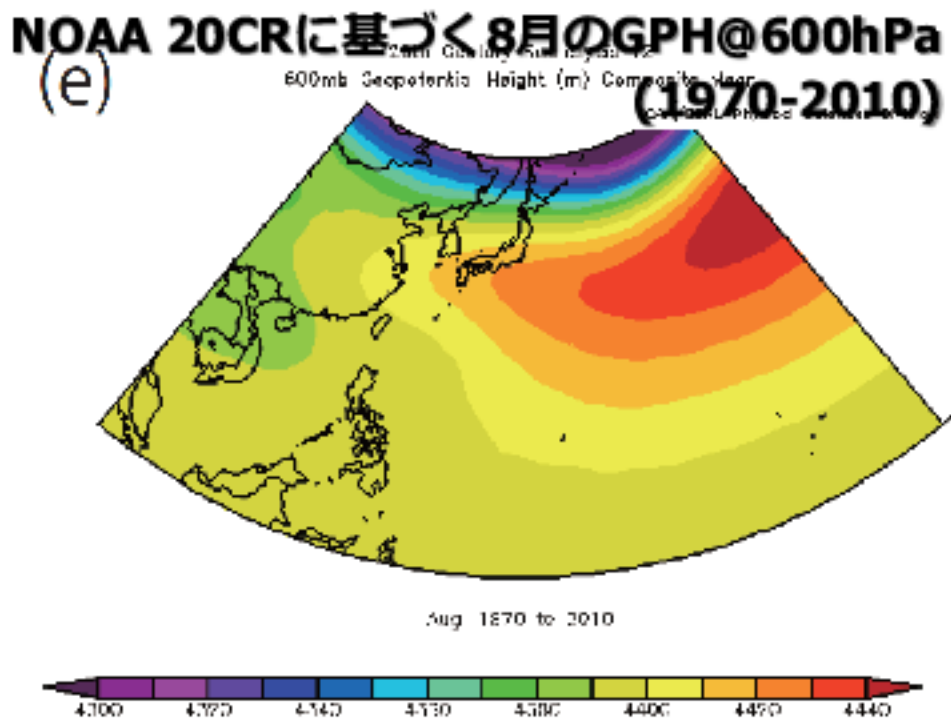
$$\frac{\partial \zeta}{\partial t} + v_x \frac{\partial \zeta}{\partial x} + v_y \frac{\partial \zeta}{\partial y} + v_x \frac{df}{dy} = 0 \rightarrow \frac{D(f + \zeta)}{Dt} = 0$$

移流項 \gg ベータ項

絶対渦度($f + \zeta$)は
移流でしか変化しない

台風の進路

- 台風の進路は、台風周辺で吹く対流圈中層の風の向き(指向流)にほぼ一致する。
- 水平2次元の渦度で台風の進路を近似的に表現できる。



台風はどの高度の風に流されるか？

- 順圧非発散モデルにどの高度の風を与えると予報誤差が小さくなるか(Velden and Leslie, 1991) ?

TABLE 2. 48-h mean track forecast errors (km) from various layer-mean wind analyses used to initialize the barotropic track forecast model for specified tropical cyclone intensity classes. The total number of cases is 300, which are fairly evenly distributed among intensity classes. The lowest forecast error for each intensity class is underlined.

Intensity class (hPa)	>1005	995-1005	985-995	975-985	965-975	955-965	945-955	935-945	<935
No. of cases	25	25	25	25	50	50	25	25	50
Layer-means (hPa)									
1000-100	389	374	367	364	367	364	347	338	324
850-200	383	365	357	355	348	339	328	326	313
850-300	371	362	355	351	331	332	310	304	302
850-400	343	341	349	344	322	316	334	341	339
850-500	<u>332</u>	<u>331</u>	<u>332</u>	<u>337</u>	332	329	356	360	356
700-400	348	338	347	342	345	341	361	365	368
700-500	342	<u>331</u>	340	346	359	367	372	377	372

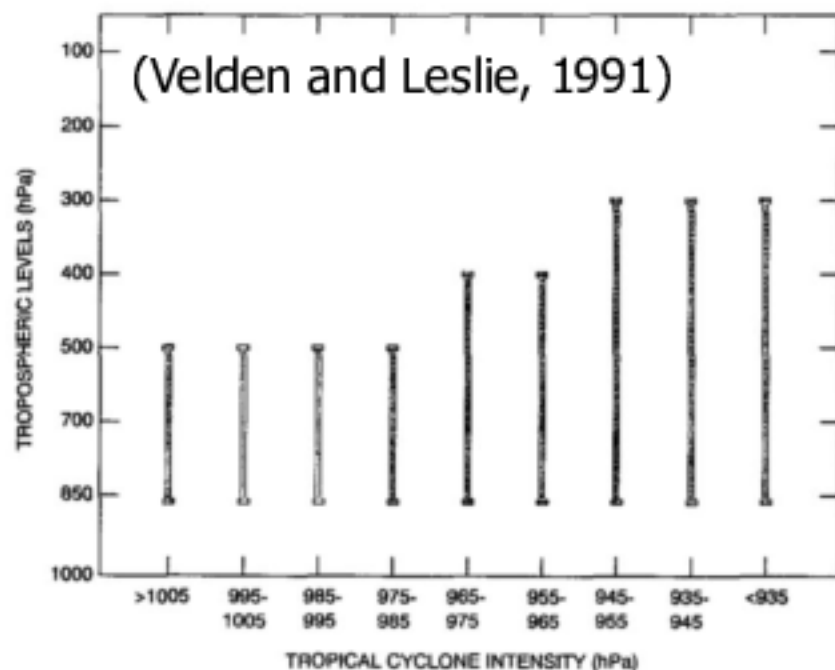


Table 3. Direction comparisons for various multiple bands.

Stratification	Storm Deviation from Mean Surrounding Wind (500 mb)				
	1° - 7°	1° - 9°	1° - 11°	1° - 13°	5° - 9°
Lat > 20°N	18°L	24°L	30°L	40°L	50°L
Lat < 20°N	14°L	12°L	15°L	24°L	7°L
Slow	21°L	31°L	37°L	48°L	39°L
Moderate	18°L	25°L	33°L	44°L	32°L
Fast	12°L	14°L	17°L	21°L	19°L
Direction A	15°L	18°L	22°L	32°L	20°L
Direction B	17°L	19°L	25°L	36°L	19°L
Direction C	15°L	21°L	25°L	32°L	23°L
Intensity 1	12°L	15°L	20°L	23°L	18°L
Intensity 2	17°L	22°L	28°L	37°L	25°L
Intensity 3	22°L	15°L	20°L	38°L	23°L
Deepening	13°L	22°L	22°L	20°L	13°L
Filling	17°L	26°L	19°L	29°L	10°L
Mean:	16.4°	20.3°L	23.6°L	32.6°L	21.3°L
σ :	3.4°	5.5°	7.0°	8.9°	8.9°
L:	Storm direction on left of mean surrounding wind				

(George and Gray, 1976)

現実の進路と指向流の差

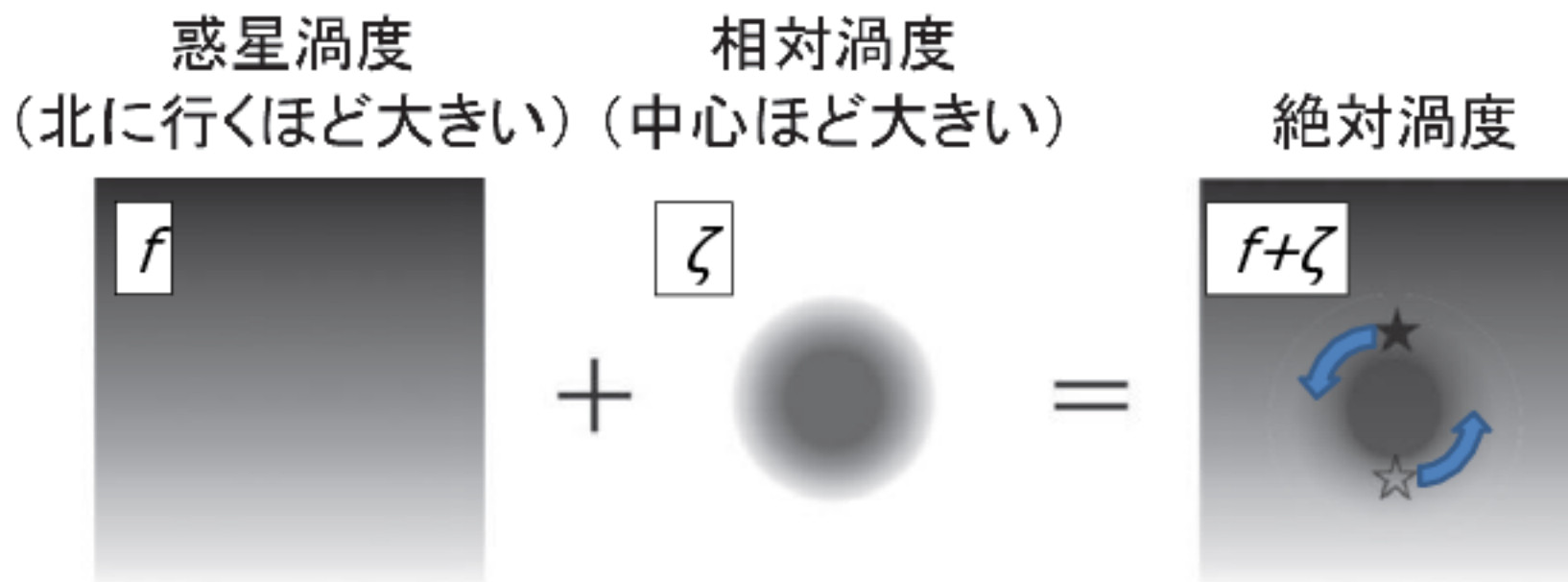
- 台風は指向流より若干(<2m/s)西側・極側に進む。



(Carr and Elseberry, 1990; Chan 2010)

絶対渦度の保存則

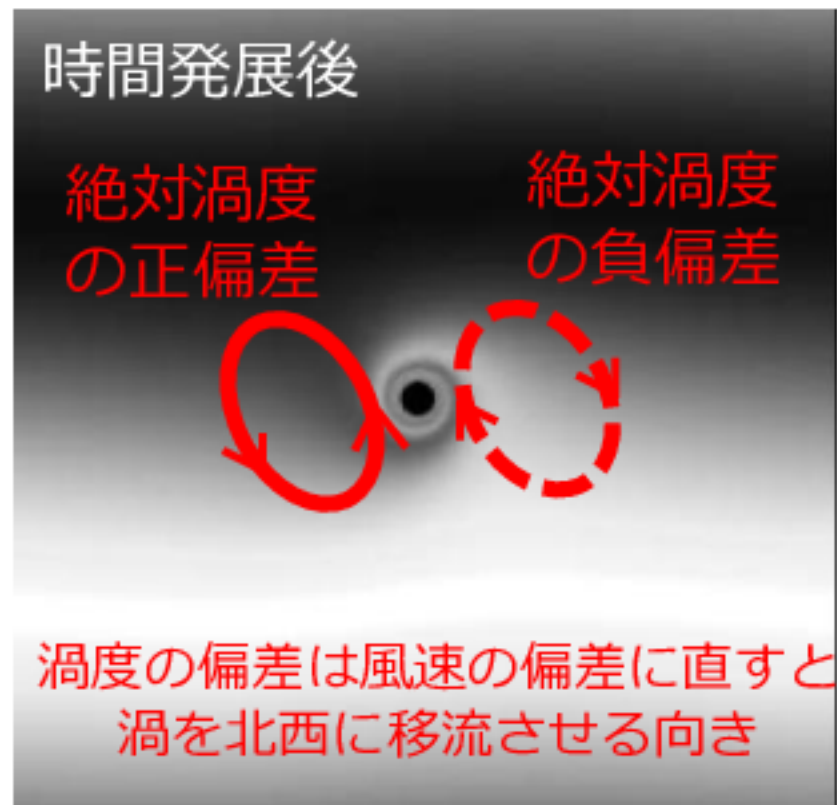
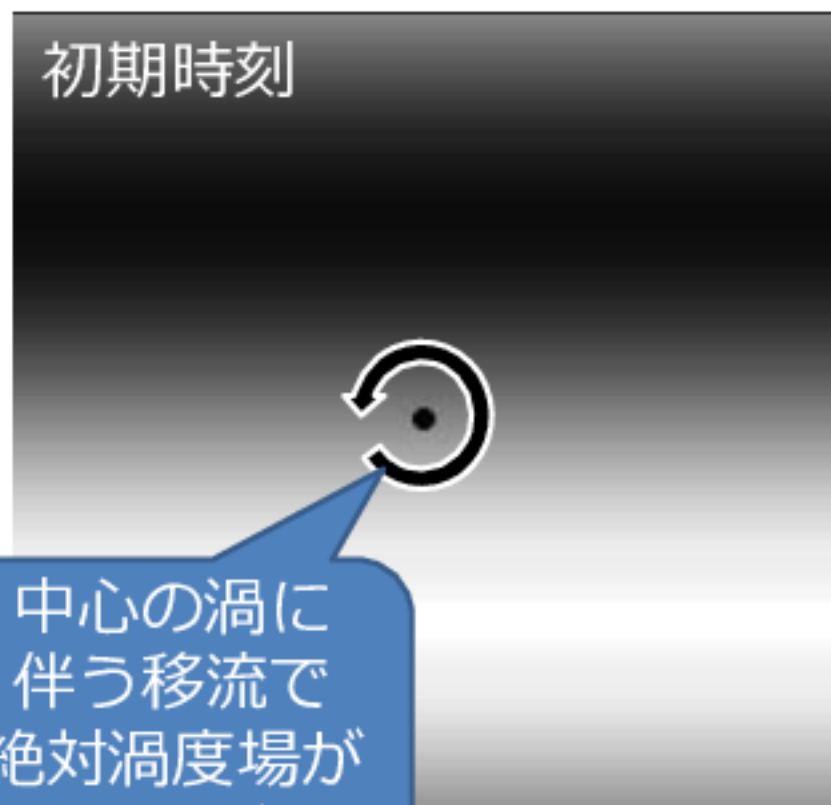
- 絶対渦度 = 惑星渦度 + 相対渦度は、今考えている系ではラグランジュ的に保存する。
- 惑星渦度：北に行くほど値が大きい
- 相対渦度：中心にいくほど値が大きい
- ★地点から絶対渦度の大きな気塊が移流によって西に運ばれる。☆地点では逆に絶対渦度の小さな気塊が東に。



(筆保・伊藤・山口, 2014)

2次元非発散モデルで数値実験：ベータジャイア効果

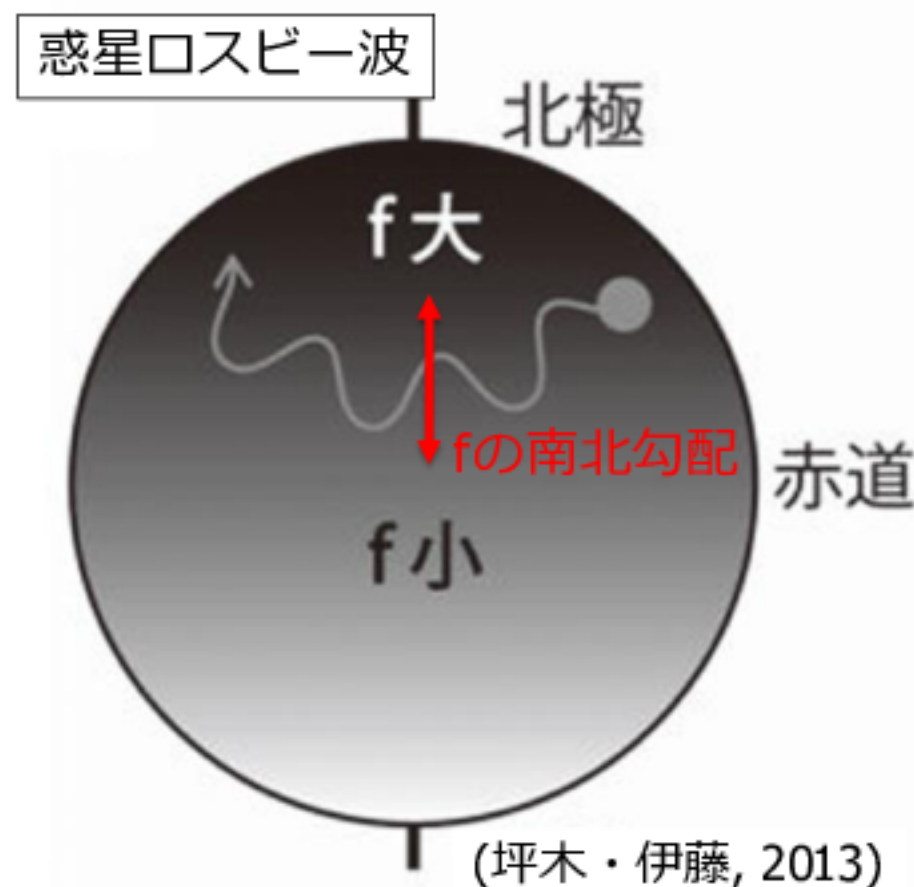
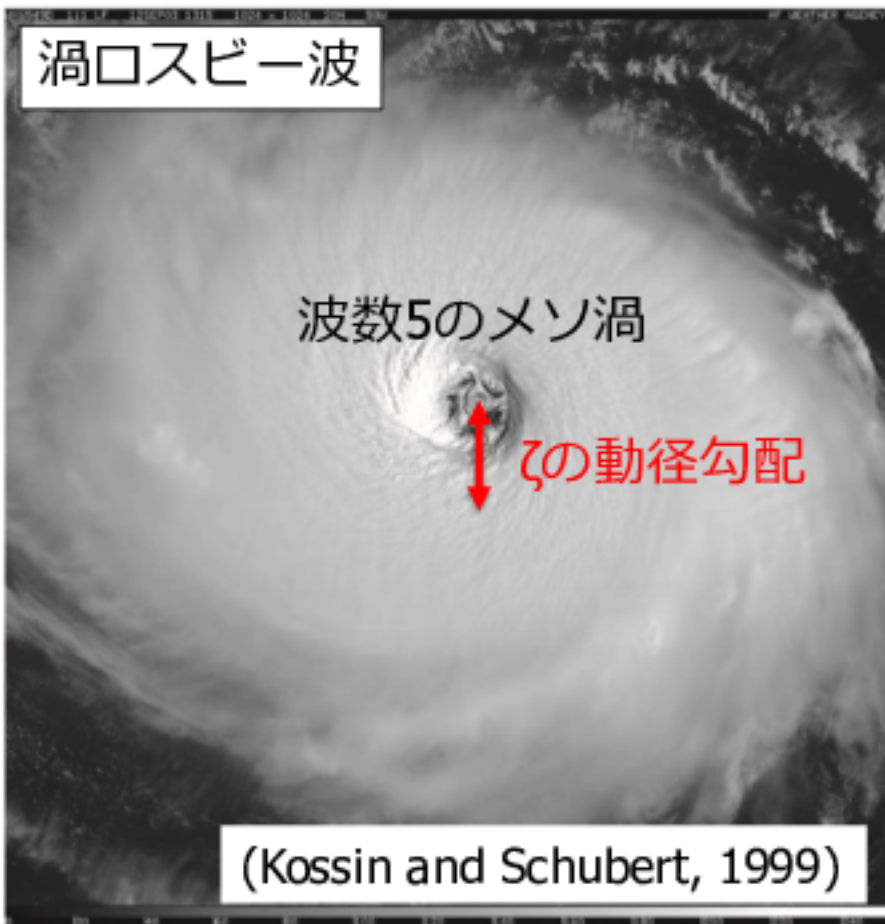
- 絶対渦度は西側では正偏差、東側では負偏差
⇒風速の偏差場に直すと北西に渦が動く(Chan, 1987, 2010)
- 講演後コメント：議論になっていましたが、微小な渦度擾乱を置くと西進する単なるロスビー波で、これは非線形性によって出てくる効果です。Sutyrin and Morel (1997)などに近似解析解が記載されています。



(Bajar et al. 2004)

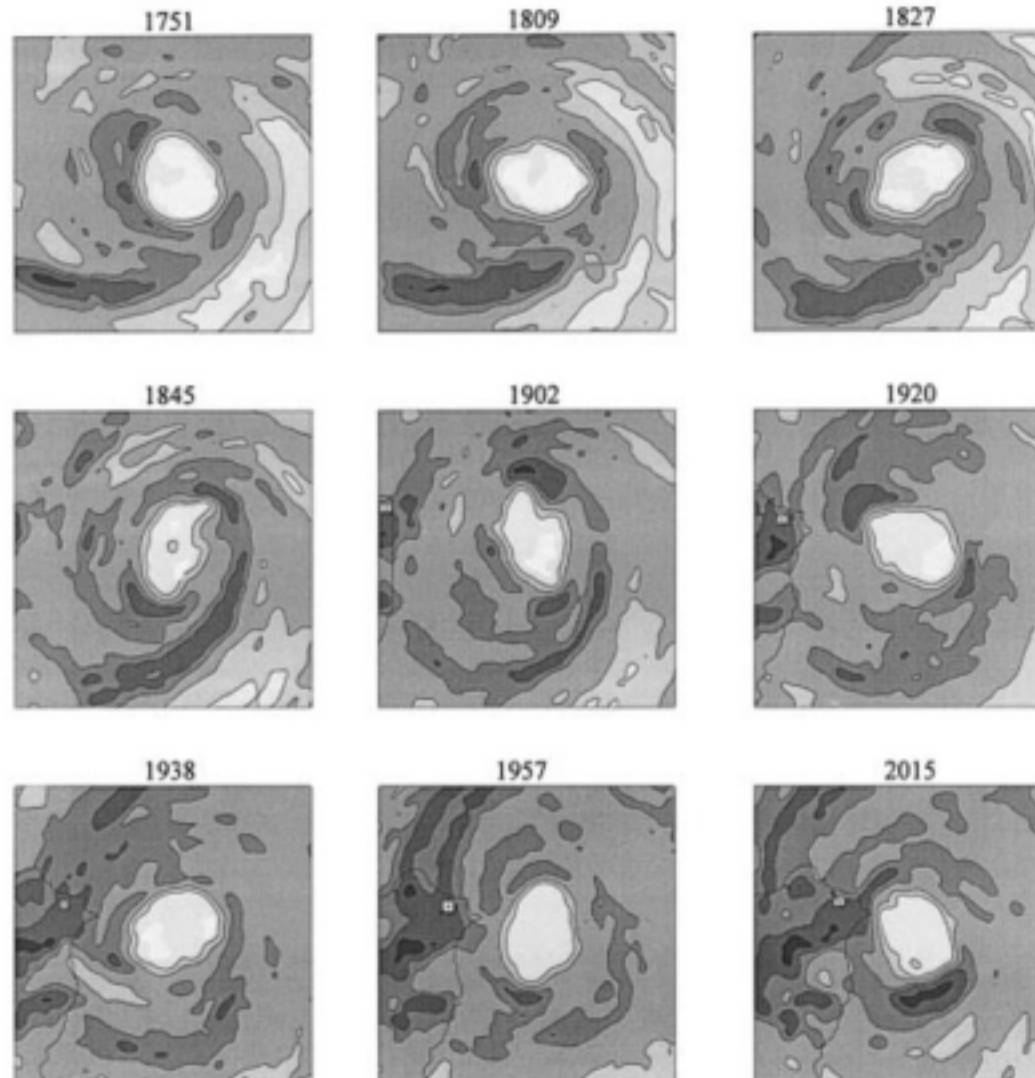
渦口スピーカー

- 基本場が渦である場合のロスピーカー波(基本場の渦位勾配を考えたときの、擾乱の渦位のふるまい)
- メソ渦・進路に関わる順圧不安定・多重壁雲の形成に関わっているといわれている。



橍円形の眼の回転

- 接線風速で流される場合に1回転に要する時間 50分
< 楊円型の眼が1回転するのに要した時間 144分



(Kuo, 1999)

渦口スピーカーの定式化 (Montgomery and Kallenbach, 1997)

講演後コメント：原論文の通りでは、分散関係式導くことができないようです。また、講演中は、導出過程に「結論ありきではないか」との疑問が出ました。

2次元非発散渦度方程式、f面で非断熱加熱無し $\frac{D\zeta}{Dt} = 0$

円筒座標系における ラグランジュ微分と 相対渦度の定義

$$\frac{D}{Dt} = \frac{\partial}{\partial t} + u \frac{\partial}{\partial r} + \frac{v}{r} \frac{\partial}{\partial \varphi}, \zeta = \frac{\partial v}{\partial r} + \frac{v}{r} - \frac{1}{r} \frac{\partial u}{\partial \varphi}$$

$$\left(\frac{\partial}{\partial t} + u \frac{\partial}{\partial r} + \frac{v}{r} \frac{\partial}{\partial \varphi} \right) \left(\frac{\partial v}{\partial r} + \frac{v}{r} - \frac{1}{r} \frac{\partial u}{\partial \varphi} \right) = 0$$

基本場として接線風がrの 関数となっている場を想定

$$u = u'(r, \varphi), v = \bar{v}(r) + v'(r, \varphi)$$

$$\left(\frac{\partial}{\partial t} + \frac{\bar{v}}{r} \frac{\partial}{\partial \varphi} \right) \zeta' + \left(\frac{\partial \bar{\zeta}}{\partial r} \right) u' = 0$$

角速度を定義 $\Omega = \frac{v}{r}$, 流線関数を定義 $u = -\frac{1}{r} \frac{\partial \psi}{\partial \varphi}, v = \frac{\partial \psi}{\partial r}$

渦度の摂動の振舞いに関する方程式

$$\left(\frac{\partial}{\partial t} + \bar{\Omega} \frac{\partial}{\partial \varphi} \right) \nabla^2 \psi' - \left(\frac{\partial \bar{\zeta}}{\partial r} \right) \frac{\partial \psi'}{r \partial \varphi} = 0$$

$$\left(\frac{\partial}{\partial t} + \bar{\Omega} \frac{\partial}{\partial \varphi} \right) \nabla^2 \psi' - \frac{1}{r} \left(\frac{\partial \bar{\zeta}}{\partial r} \right) \frac{\partial \psi'}{\partial \varphi} = 0$$

半径R近傍でWKB近似を適用する($\delta r = r - R$)

$$\bar{\Omega} = \bar{\Omega}_0 + \frac{d\bar{\Omega}_0}{dr} \delta r, \frac{d\bar{\zeta}}{dr} = \frac{d\bar{\zeta}_0}{dr} + \frac{d^2\bar{\zeta}_0}{dr^2} \delta r, \frac{1}{r} = \frac{1}{R} \left(1 - \frac{\delta r}{R} \right)$$

波の形を仮定(係数は実数) $\psi(r, \varphi, t) = A(t) \exp \left\{ i(n\varphi + k(t)(r - R) - \boxed{\Lambda(t)}) \right\}$

通常の
wtに相当

任意の微小な δr に成り立つ恒等式

$$\begin{aligned} & \frac{k}{R} (\dot{\Lambda} - \bar{\Omega}_0 n) - 2k\dot{k} - \left(k^2 + \frac{n^2}{R^2} \right) \frac{\dot{A}}{A} + i \left(\frac{\dot{k}}{R} \left(1 + \frac{\dot{A}}{A} \right) + \left(k^2 + \frac{n^2}{R^2} \right) (\dot{\Lambda} - n\bar{\Omega}_0) - \frac{n}{R} \frac{d\bar{\zeta}_0}{dr} \right) \\ & + \left(\frac{\dot{A}}{A} \frac{2n^2}{R^4} + \bar{\Omega}_0 \frac{kn}{R^2} - \frac{\partial \bar{\Omega}_0}{\partial r} \frac{kn}{R} - \frac{k\dot{\Lambda}}{R^2} \right) \delta r - i \left(\left(k^2 + \frac{n^2}{R^2} \right) \left(n \frac{\partial \bar{\Omega}_0}{\partial r} + \dot{k} \right) + \frac{2}{R} (\dot{\Lambda} - n\bar{\Omega}_0) - \frac{n}{R^2} \frac{d\bar{\zeta}_0}{dr} + \frac{\dot{k}}{R^2} \left(1 + \frac{\dot{A}}{A} \right) - \frac{2n^2}{R^4} (\dot{\Lambda} - n\bar{\Omega}_0) + \frac{n}{R} \frac{d^2\bar{\zeta}_0}{dr^2} \right) \delta r = 0 \end{aligned}$$

波長がRに比べて十分に小さく、波数n,kは大きい $O\left(\frac{\delta r}{R}, \frac{1}{kR}\right)$ を無視(但し $\frac{n}{kR}$ は無視できない(*1))

(*1)原論文にはないがこれがないとこの結果にならない(?)

$$\omega = n\bar{\Omega}_0 + \frac{n}{R} \frac{(d\bar{\zeta}_0 / dr)}{\left(k^2 + n^2 / R^2 \right)}$$

$\Lambda = \omega t$
として整理

0次オーダーの虚部を0として

$$\left(k^2 + \frac{n^2}{R^2} \right) (\dot{\Lambda} - n\bar{\Omega}_0) - \frac{n}{R} \frac{d\bar{\zeta}_0}{dr} = 0$$

分散關係式

$$\omega = n\bar{\Omega}_0 + \frac{n}{R} \frac{(d\bar{\zeta}_0/dr)}{(k^2 + n^2/R^2)}$$

- 位相速度

- 動徑方向 $C_{pr} = \frac{\omega}{k} = \frac{n}{k}\bar{\Omega}_0 + \frac{n}{Rk} \frac{(d\bar{\zeta}_0/dr)}{(k^2 + n^2/R^2)}$

- 接線方向 $C_{p\varphi} = \frac{\omega}{n/R} = R\bar{\Omega}_0 + \frac{(d\bar{\zeta}_0/dr)}{(k^2 + n^2/R^2)}$

- 群速度

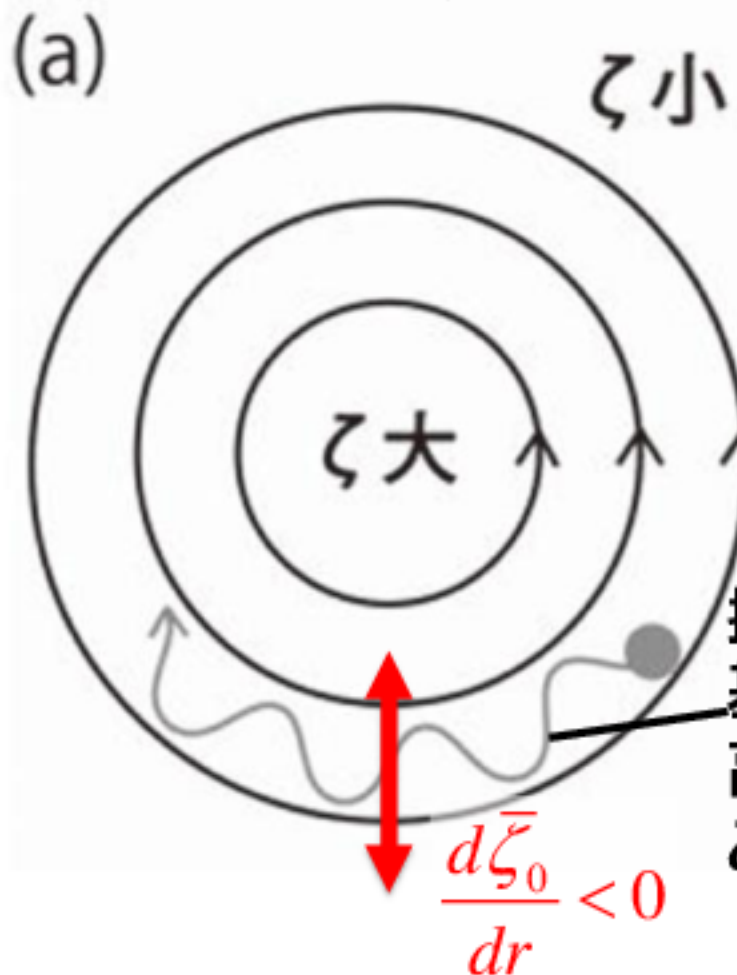
- 動徑方向 $C_{gr} = \frac{-2kn(d\bar{\zeta}_0/dr)}{R(k^2 + n^2/R^2)^2}$

- 接線方向 $C_{g\varphi} = \frac{\partial \omega}{\partial \left(\frac{n}{R}\right)} = R\bar{\Omega}_0 + \frac{(d\bar{\zeta}_0/dr)}{(k^2 + n^2/R^2)^2} \left(k^2 - \frac{n^2}{R^2} \right)$

対比：回転軸の接線方向に対する位相速度

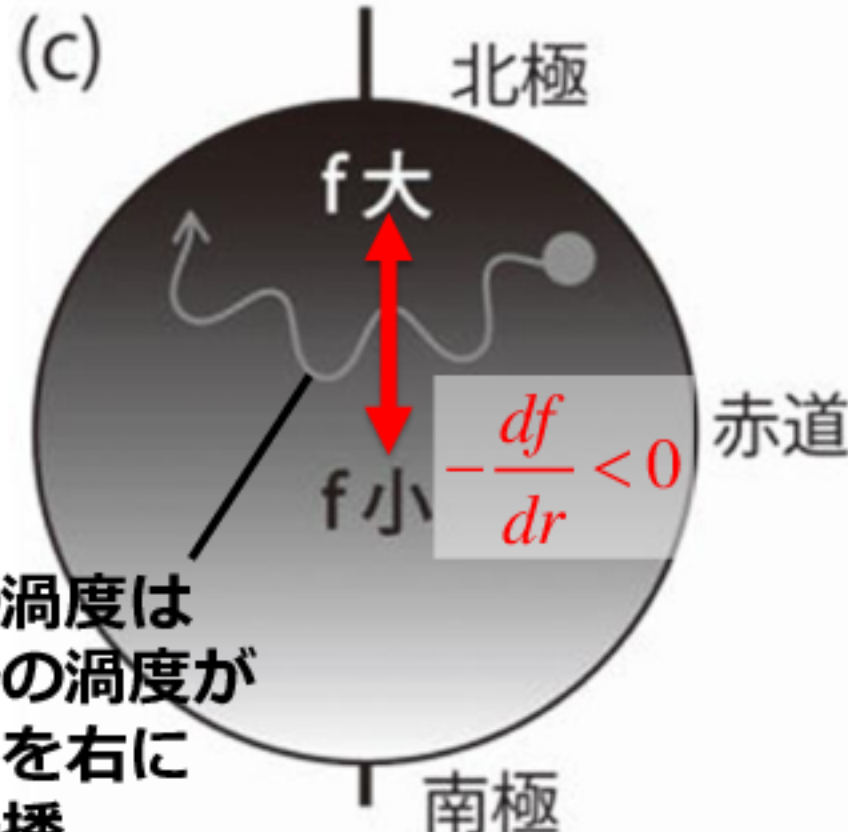
- 渦口スビー波

$$C_{p\varphi} = R\bar{\Omega}_0 + \frac{(d\bar{\zeta}_0 / dr)}{\left(k^2 + n^2 / R^2\right)}$$



- 惑星口スビー波 (Vallis, 2006)

$$C_{px} = U + \frac{(-df / dy)}{\left(k^2 + l^2\right)}$$



擾乱の渦度は
基本場の渦度が
高い方を右に
みて伝播

(板野, 2010; 坪木・伊藤, 2013)

渦口スピーカー波のいくつかの特徴

$$\begin{aligned} & \frac{k}{R}(\dot{\Lambda} - \bar{\Omega}_0 n) - 2k\dot{k} - \left(k^2 + \frac{n^2}{R^2}\right)\frac{\dot{A}}{A} + i\left(\frac{\dot{k}}{R}\left(1 + \frac{\dot{A}}{A}\right) + \left(k^2 + \frac{n^2}{R^2}\right)(\dot{\Lambda} - n\bar{\Omega}_0) - \frac{n}{R}\frac{d\bar{\zeta}_0}{dr}\right) \\ & + \left(\frac{\dot{A}}{A}\frac{2n^2}{R^4} + \bar{\Omega}_0\frac{kn}{R^2} - \frac{\partial\bar{\Omega}_0}{\partial r}\frac{kn}{R} - \frac{k\dot{\Lambda}}{R^2}\right)\delta r - i\left(\left(k^2 + \frac{n^2}{R^2}\right)\left(n\frac{\partial\bar{\Omega}_0}{\partial r} + \dot{k}\right) + \frac{2}{R}(\dot{\Lambda} - n\bar{\Omega}_0) - \frac{n}{R^2}\frac{d\bar{\zeta}_0}{dr} + \frac{\dot{k}}{R^2}\left(1 + \frac{\dot{A}}{A}\right) - \frac{2n^2}{R^4}(\dot{\Lambda} - n\bar{\Omega}_0) + \frac{n}{R}\frac{d^2\bar{\zeta}_0}{dr^2}\right)\delta r = 0 \end{aligned}$$

波長がRに比べて十分に
小さく、波数n,kは大きい $\frac{\delta r}{R} \approx 0, \frac{1}{kR} \approx 0$ (但し $\frac{n}{kR}$ は無視できない(*1))

k²で割る
1次オーダーの虚部を0として

$$\left(k^2 + \frac{n^2}{R^2}\right)\left(n\frac{\partial\bar{\Omega}_0}{\partial r} + \dot{k}\right) = 0$$

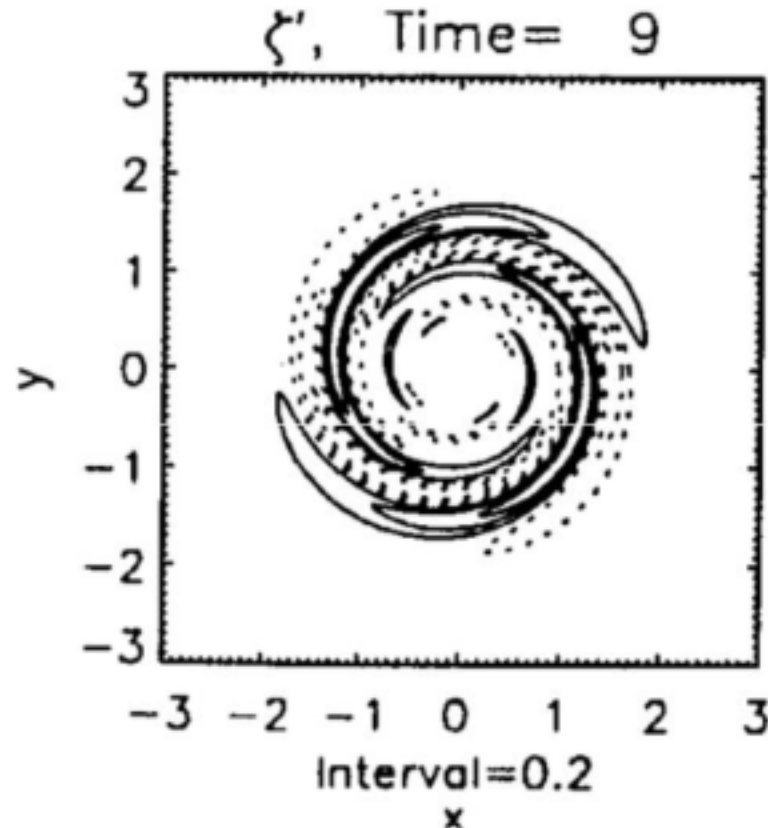
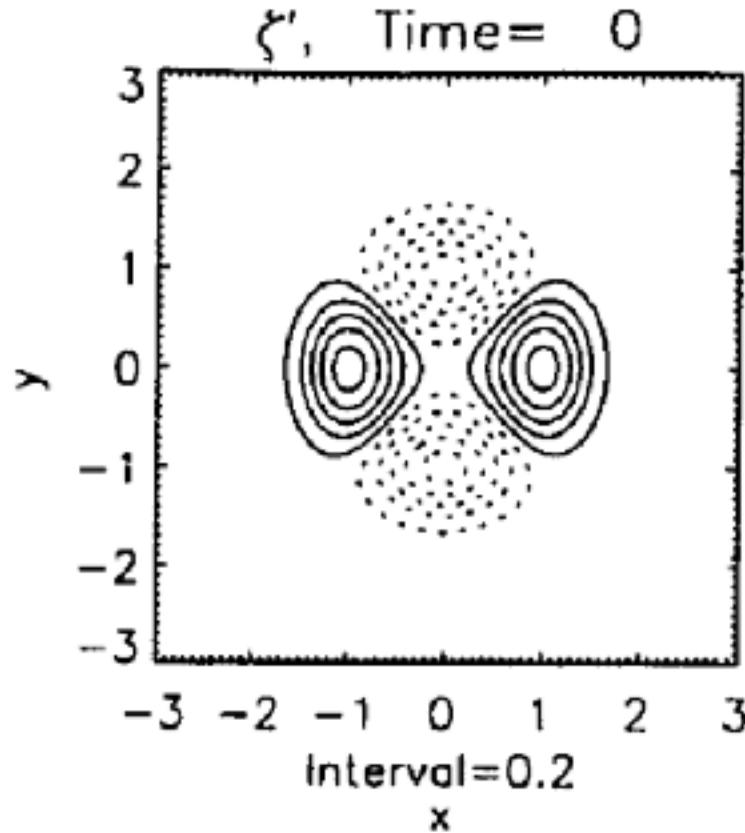
自明で無い解

講演後コメント：1次のオーダーからkの時間変化を出す
ことが「解せない」という参加者の方がいました。

$$k(t) = k(0) - n\frac{\partial\bar{\Omega}_0}{\partial r}t$$

動径波数は時間を追って増加

- 角速度が異なることにより、渦度擾動の動径波数は大きくな(波長は短く)なる (コメント参照)



(Montgomery and Kallenbach, 1997)

講演後コメント：伊藤はこの図上の波数を考えてしまっていましたが、WKB近似を採用した時点で、波数の変化は局所的な特徴と捉えるべきとのコメントをいただきました。論文中ではWave-packetで考えています。

滞留半径(Stagnation radius)

- 動径波数は $k(t) = k(0) - n(\partial \bar{\Omega}_0 / \partial r)t$ のように時間変化する
- 基本場の角速度が中心で極大を持ち単調減少($\partial \bar{\Omega}_0 / \partial r < 0$)する渦を考えると、十分に時間が経過した後には、
 - 接線方向の波数nが正ならば、kは正の大きな値
 - 接線方向の波数nが負ならば、kは負の大きな値
- 動径方向の群速度は $C_{gr} = \frac{-2kn(d\bar{\zeta}_0 / dr)}{R(k^2 + n^2 / R^2)^2}$ なので、
 $d\bar{\zeta}_0 / dr < 0$ とすると、十分な時間が経過すると、外向きになり、 k^3 に反比例するため、動径方向の群速度が遅くなる。
- 群速度を時間積分すると

$$r_s = \lim_{t \rightarrow \infty} r = R + \frac{(d\bar{\zeta}_0 / dr)}{R(d\bar{\Omega}_0 / dr)} \frac{1}{k_0^2 + n^2 / R^2}$$

擾乱のエネルギーはこの位置に滞留することが予想される。

波と流れの相互作用

- 簡単のためf面を考え、密度は一定とする

絶対角運動量の方程式 $\frac{\partial M}{\partial t} + u \frac{\partial M}{\partial r} + \frac{v}{r} \frac{\partial M}{\partial \varphi} = -\frac{1}{\rho} \frac{\partial p}{\partial \varphi} + r F_\varphi$
(軸対称は仮定しない)

質量保存則 $\frac{1}{r} \frac{\partial (ru)}{\partial r} + \frac{1}{r} \frac{\partial v}{\partial \varphi} = 0 \longrightarrow$

フラックス形式 $\frac{\partial M}{\partial t} + \nabla \cdot (M \mathbf{V}) = -\frac{1}{\rho} \frac{\partial p}{\partial \varphi} + r F_\varphi$

M と \mathbf{V} を接線方向平均 $\langle \rangle$ と偏差 $(')$ に分ける \longrightarrow

方程式全体に接線方向平均をかける \longrightarrow

$$\frac{\partial \langle M \rangle}{\partial t} = - \underbrace{\frac{\partial (r \langle u \rangle \langle M \rangle)}{r \partial r}}_{\text{mean-flow contribution}} - \underbrace{\frac{\partial (r \langle u' M' \rangle)}{r \partial r}}_{\text{eddy contribution}} + \langle r F_\varphi \rangle$$

波と流れの相互作用：渦運動エネルギー

水平2次元で傾度風平衡を基本場とし、粘性・拡散・摩擦項を無視して、

$$(1) \frac{\partial u'}{\partial t} + \frac{\bar{v}}{r} \frac{\partial u'}{\partial \varphi} - \left(f + \frac{2\bar{v}}{r} \right) v' = 0, \quad (2) \frac{\partial v'}{\partial t} + \frac{\bar{v}}{r} \frac{\partial v'}{\partial \varphi} + \left(f + \frac{\bar{v}}{r} + \frac{\partial \bar{v}}{\partial r} \right) u' = 0.$$

$u' \times (1) + v' \times (2)$ →

$$\frac{\partial \left(\frac{1}{2} u'^2 + \frac{1}{2} v'^2 \right)}{\partial t} = \left(\frac{\bar{v}}{r} - \frac{\partial \bar{v}}{\partial r} \right) u' v' - \frac{\bar{v}}{r} \frac{\partial \left(\frac{1}{2} u'^2 + \frac{1}{2} v'^2 \right)}{\partial \varphi}$$

接線方向の平均値 $\langle \rangle$ を考える →

$$\text{渦運動エネルギーの定義 } K' = \frac{1}{2} (u'^2 + v'^2) \quad \text{角運動量の定義 } \bar{\Omega} = \frac{\bar{v}}{r} \rightarrow$$

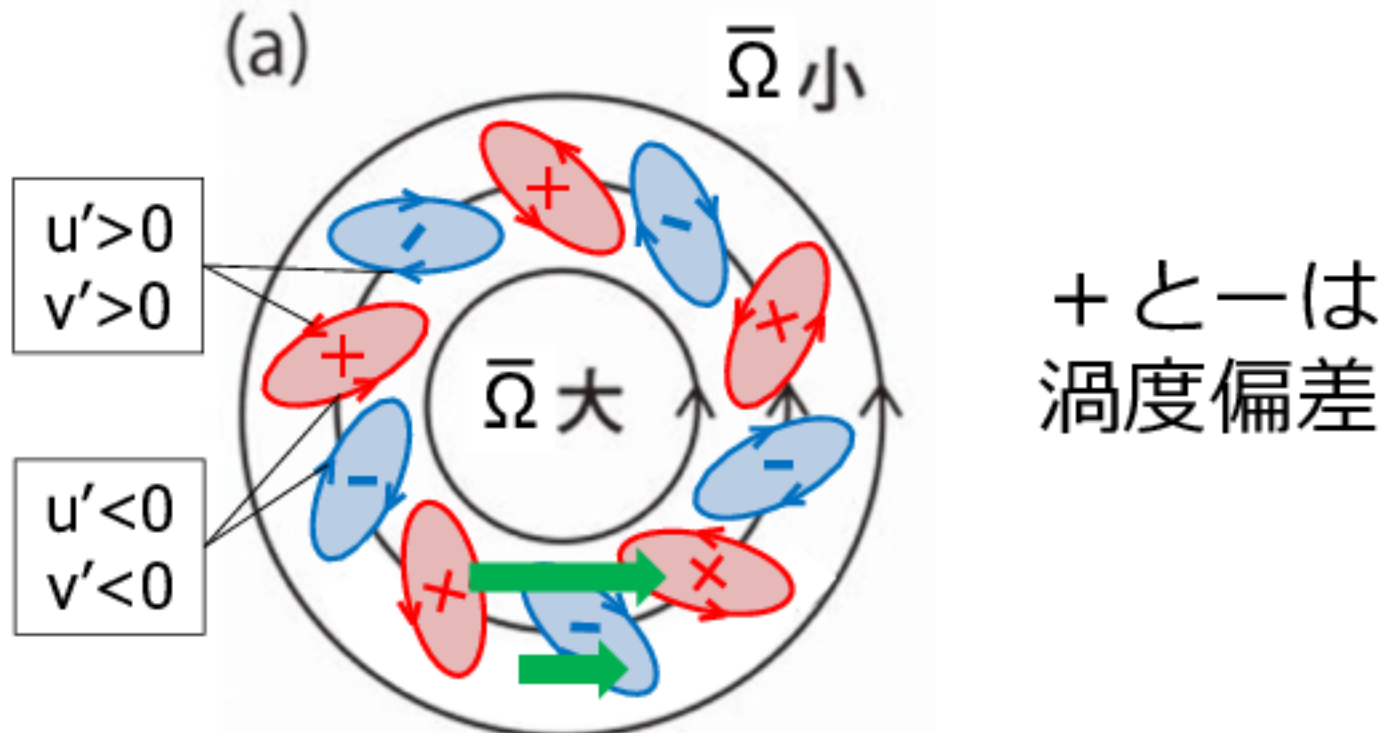
$$\boxed{\frac{\partial \langle K' \rangle}{\partial t} = - \left(r \frac{\partial \bar{\Omega}}{\partial r} \right) \langle u' v' \rangle}$$

波と流れの相互作用：擾乱の成長

- 擾乱の運動エネルギーに関する下記の式は

$$\frac{\partial \langle K' \rangle}{\partial t} = - \left(r \boxed{\frac{\partial \bar{\Omega}}{\partial r}} \right)^{<0} \langle u' v' \rangle$$

擾乱の構造が基本場のシアに対して抗っているときに
 $\langle u' v' \rangle > 0$ で擾乱のエネルギーが大きくなる。



**もうちょっと現実的な
渦位方程式を考えてみる**

渦位方程式

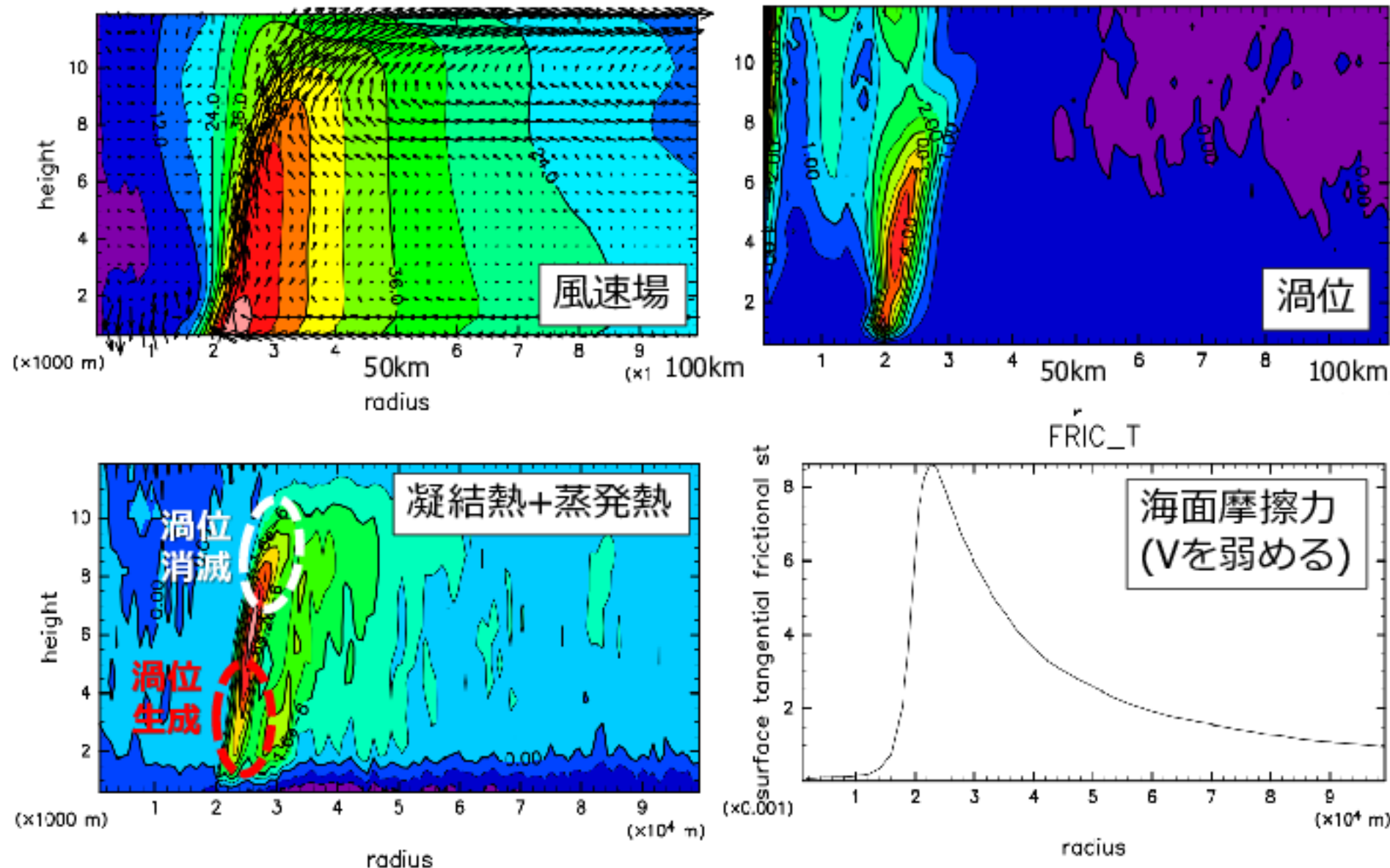
- ・ 渦位 $P = \frac{\zeta_a \cdot \nabla \theta}{\rho}$
- ・ 摩擦や非断熱加熱がある場合の渦位方程式

$$\frac{DP}{Dt} = \underbrace{\frac{1}{\rho} (\nabla \times \mathbf{F}) \cdot \nabla \theta}_{\text{摩擦による渦位の変化}} + \underbrace{\frac{1}{\rho} \left[\zeta_a \cdot \nabla \left(\frac{\theta_0 \dot{Q}}{C_p T_0} \right) \right]}_{\text{非断熱加熱による渦位の変化}}$$

- ・ 右辺の主要項は非断熱加熱の $\partial \dot{Q} / \partial z$ に関する項

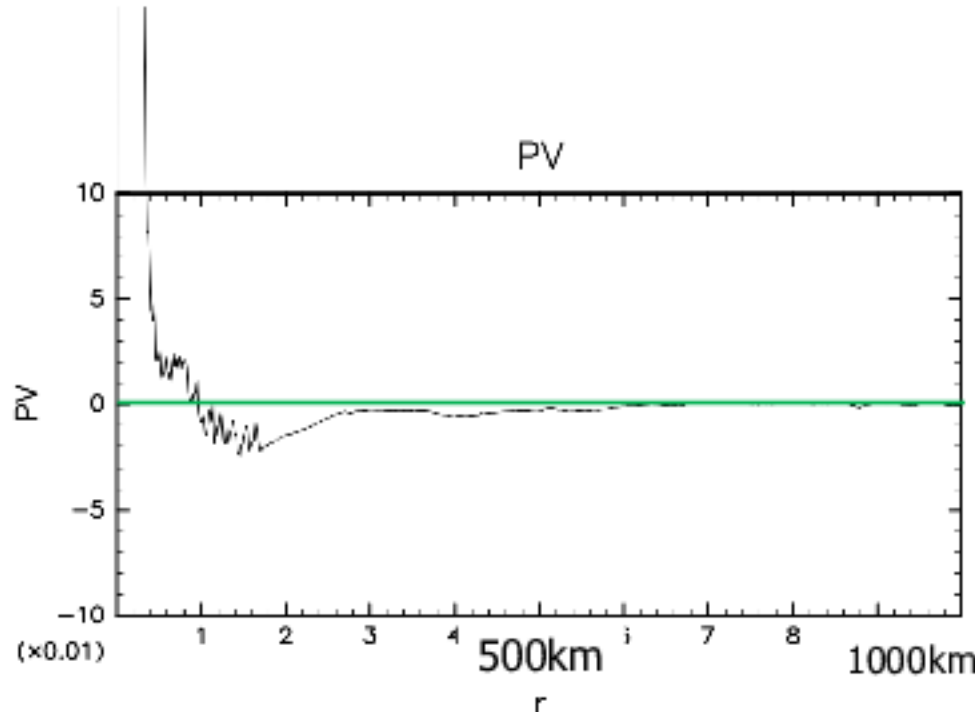
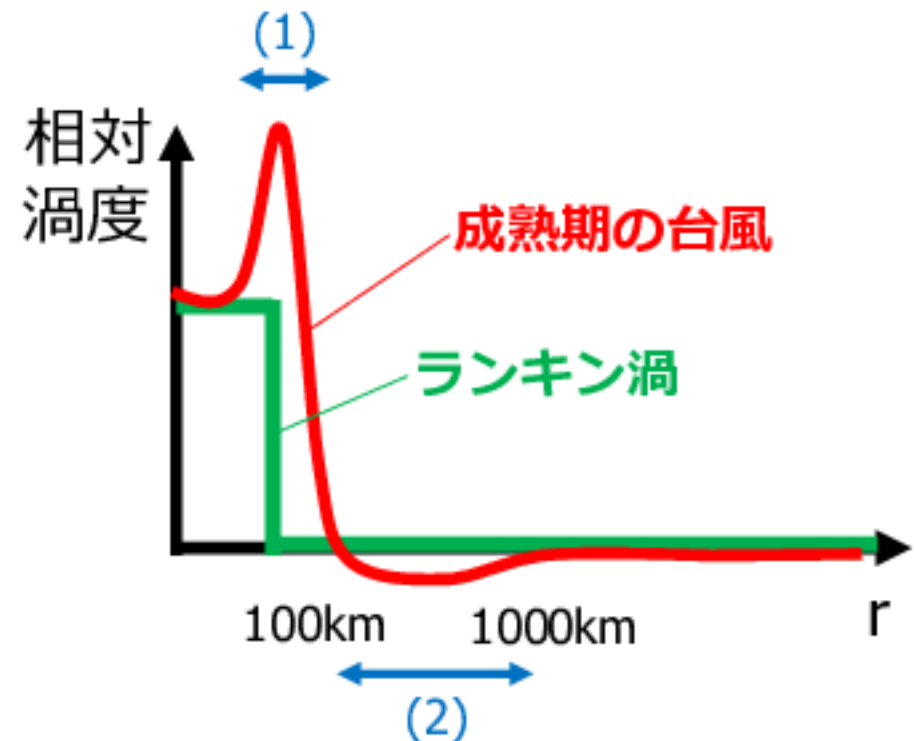
$$\frac{DP}{Dt} \propto (f + \zeta) \left(\frac{\partial \dot{Q}}{\partial z} \right)$$

非静力学軸対称台風モデルの出力



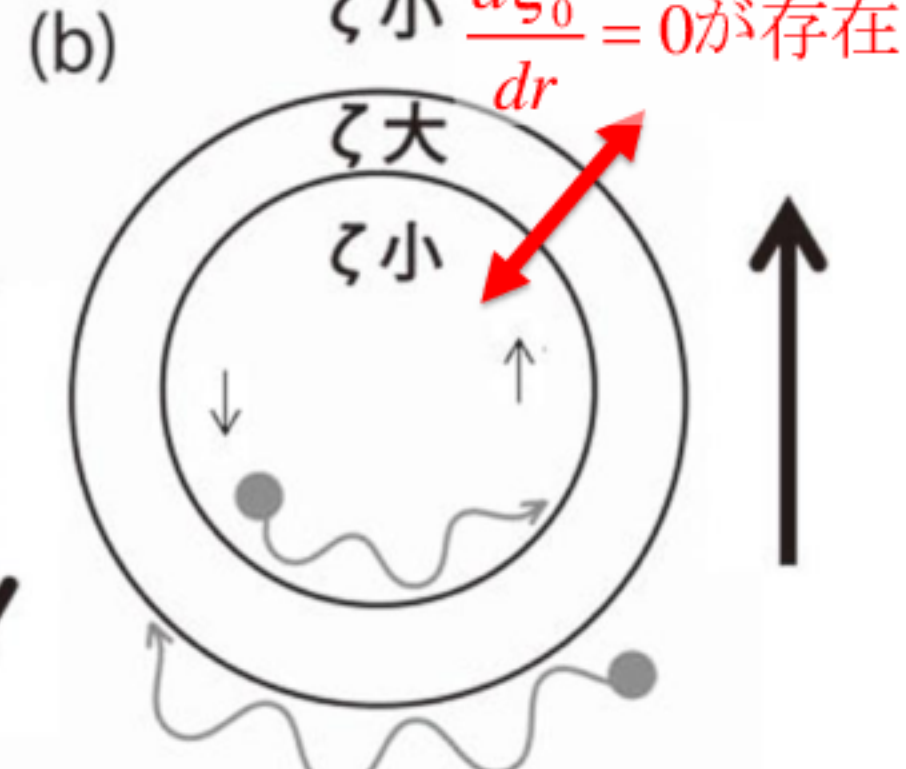
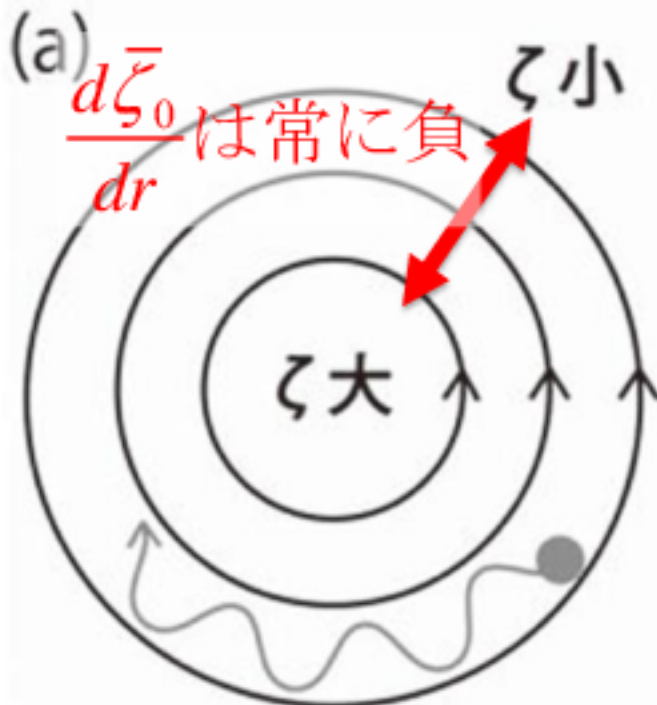
ランキン渦 VS 成熟期の台風ライクな渦

- ランキン渦(中心付近で渦度が正の定数で外側で0)が台風を近似する渦としてしばしば用いられるが、成熟期の台風では壁雲域に極大、外側では負の値をとる。
- 台風を広いスケールで見る場合や、発生・発達期の台風に関しては中心付近に極大値があるとしてよいかも知れない
- 渦度の動径勾配が向きを変えるのが、(1)と(2)の2か所に。



順圧不安定：Rayleigh-Kuoの条件

- 渦度の動径勾配($\partial\zeta/\partial r$)が領域中で0になることが順圧不安定で擾乱が成長する必要条件
- 基本場が渦のとき、その中で成長する擾乱に対してでも成り立つ(Gent and McWilliams, 1986)

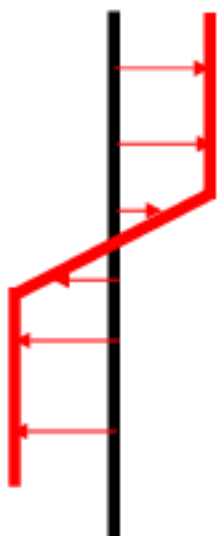


(板野, 2010; 坪木・伊藤, 2013)

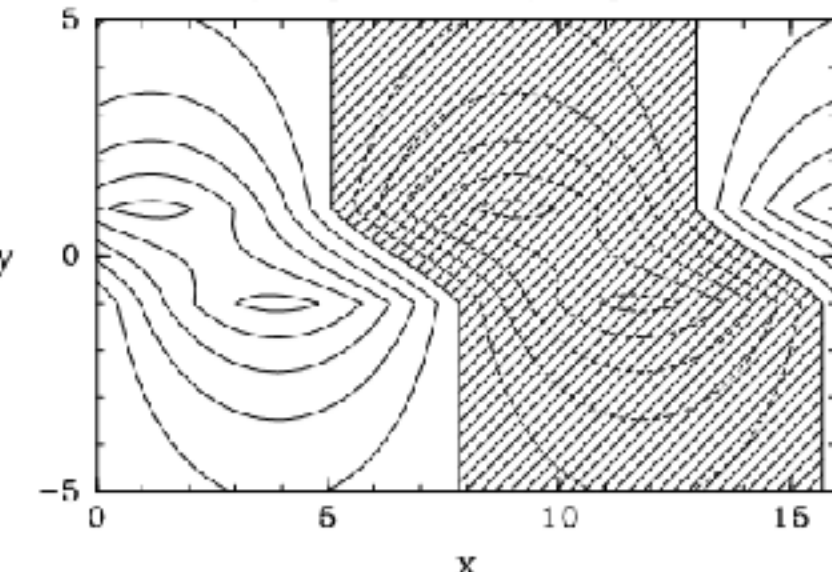
順圧不安定で成長する擾乱の構造(f面)

2点折れ線
モデル
(石岡, 1994)

基本場の東西風

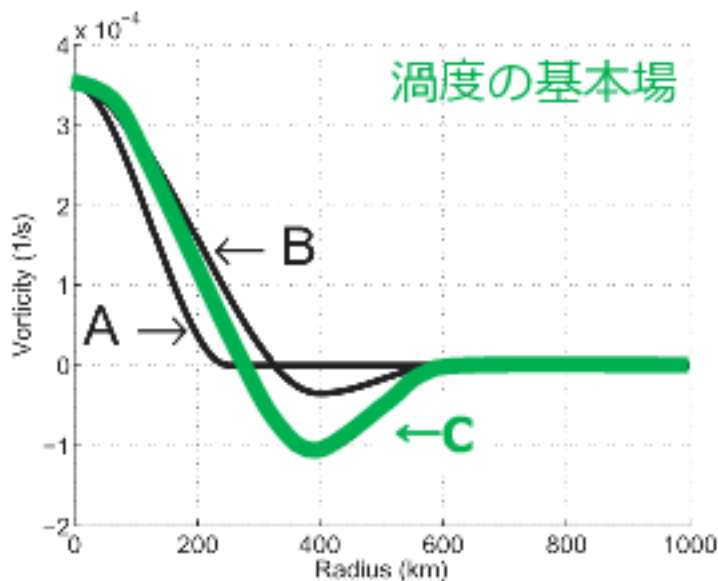


順圧不安定で成長する擾乱の構造

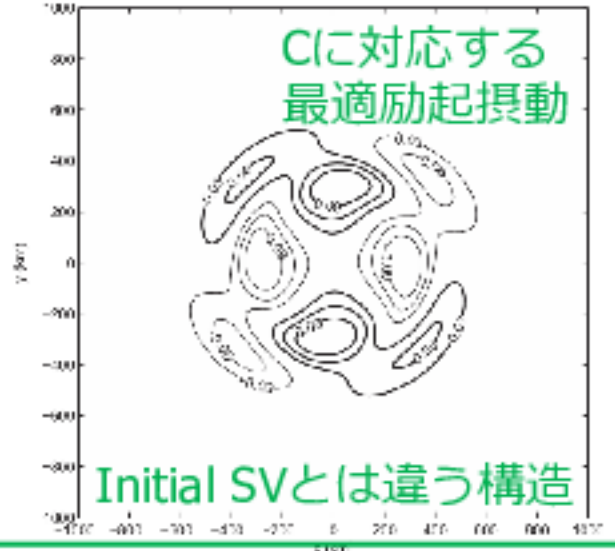


順圧非発散
モデル
(Yamaguchi and
Nolan, 2011)

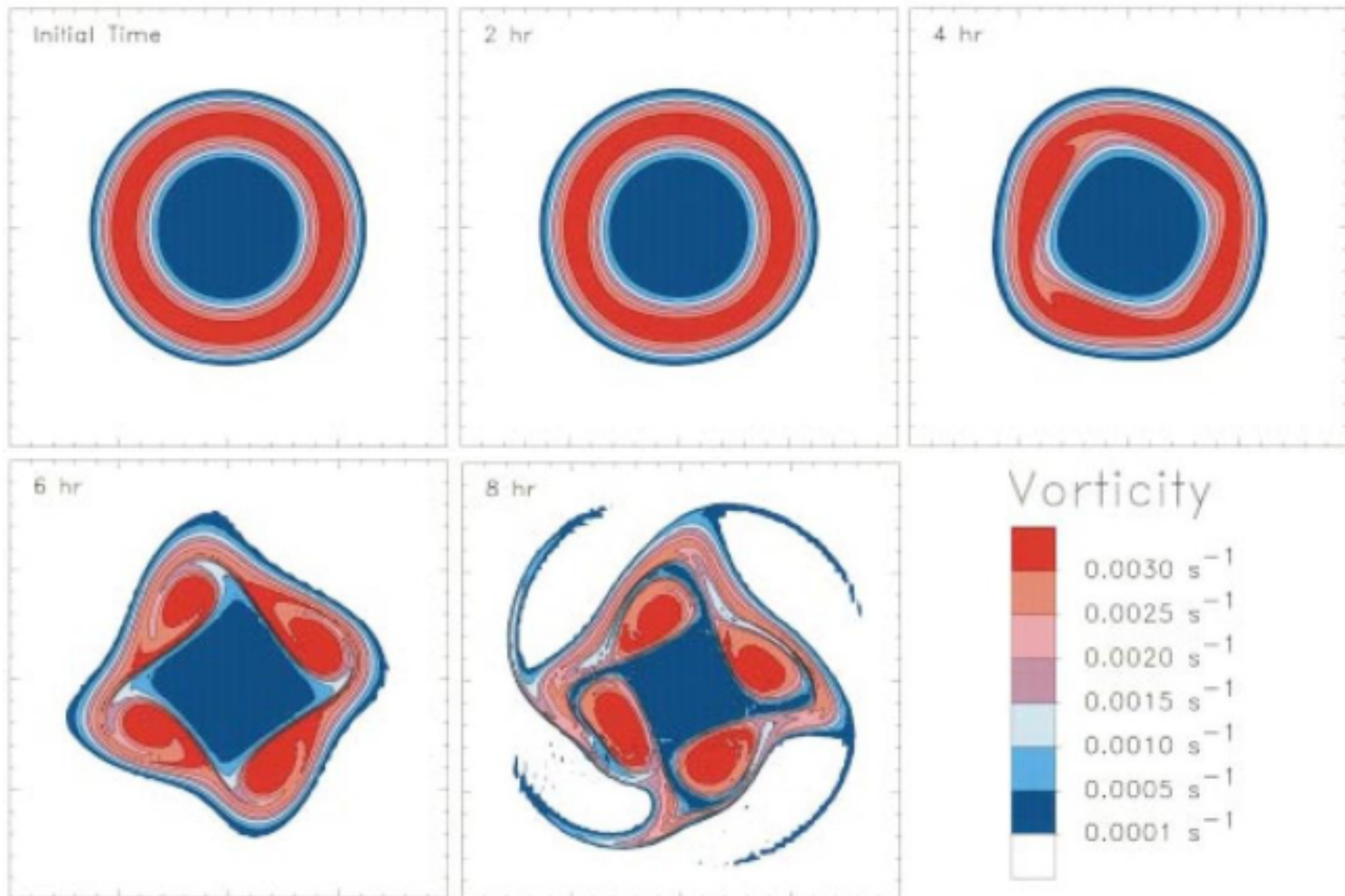
渦度の基本場



Evolved SV at optimization time (24 hours)



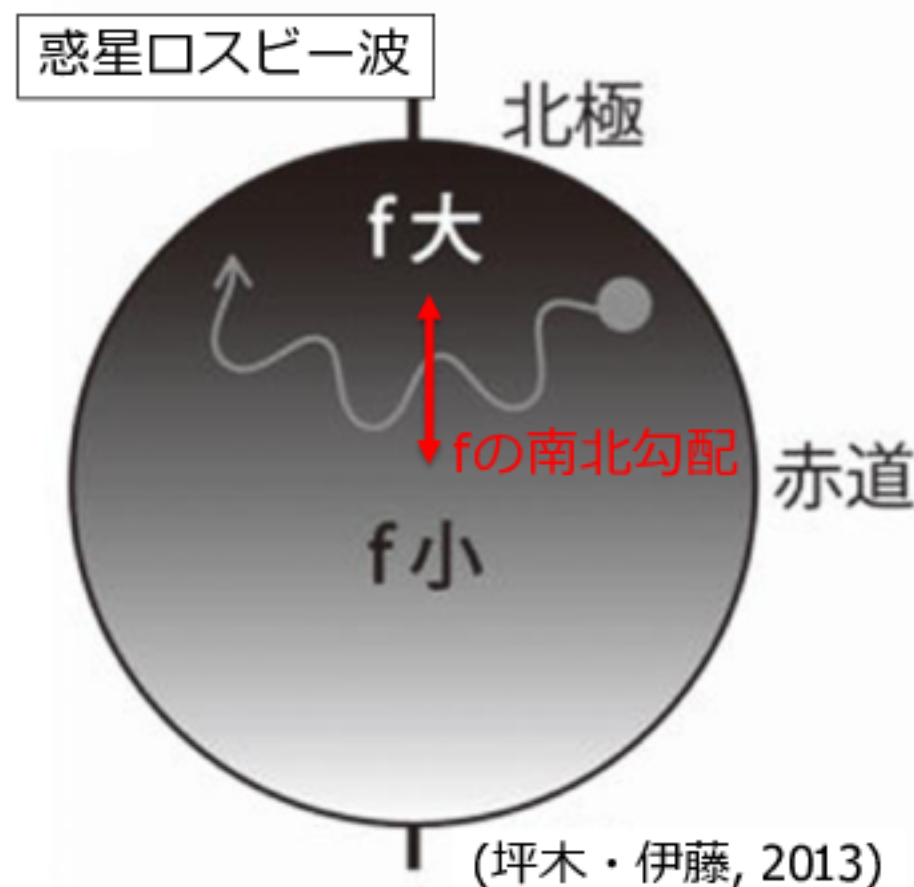
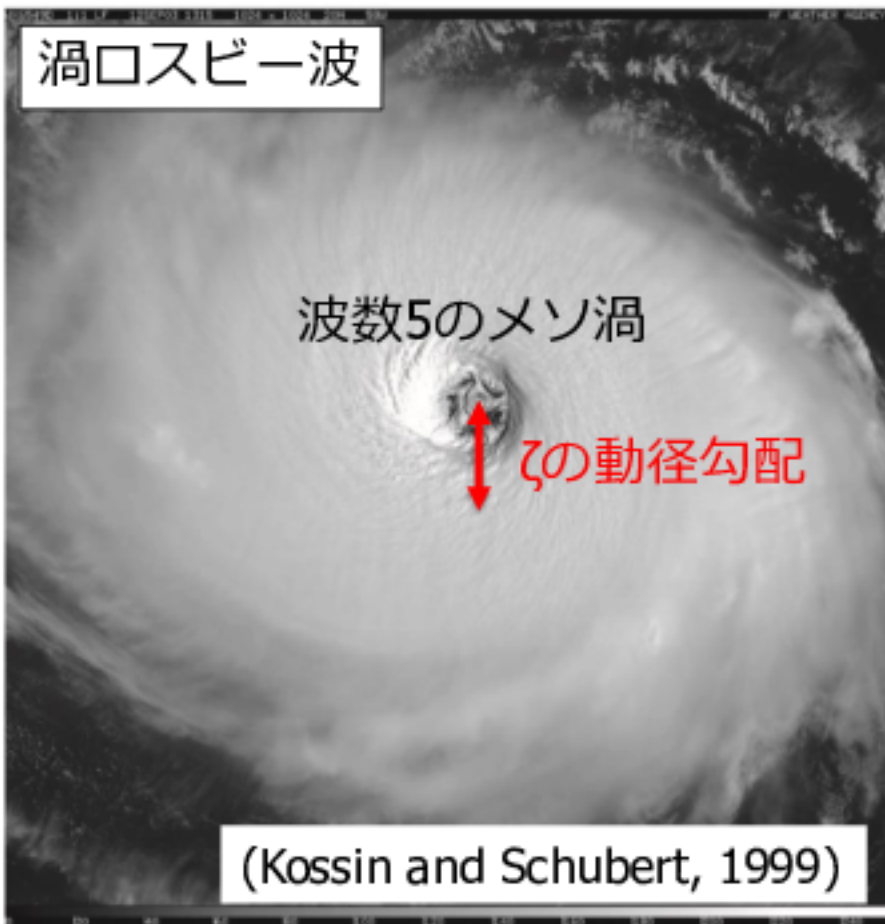
順圧不安定に伴うメソ渦の生成



(Schubert et al., 1999)

渦口スピーカー

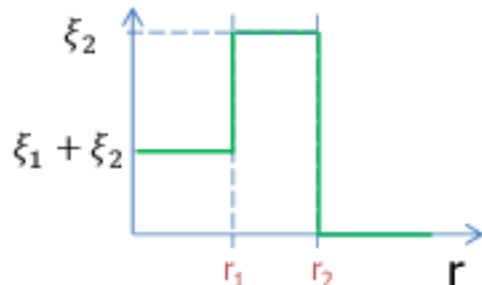
- ・ 基本場が渦である場合のロスピーカー波(基本場の渦位勾配を考えたときの、擾乱の渦位のふるまい)
- ・ メソ渦・進路に関わる順圧不安定・多重壁雲の形成に関わっているといわれている。



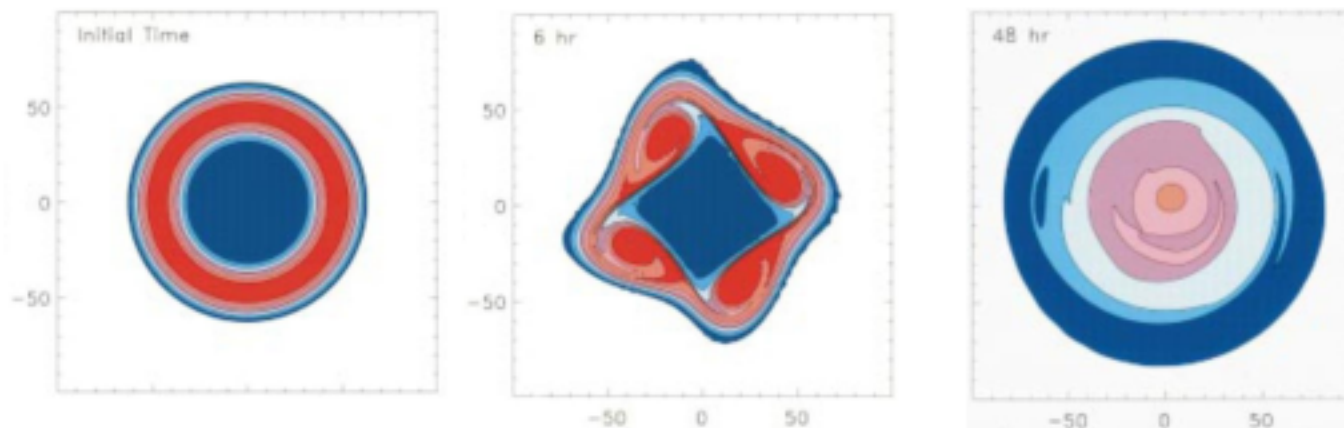
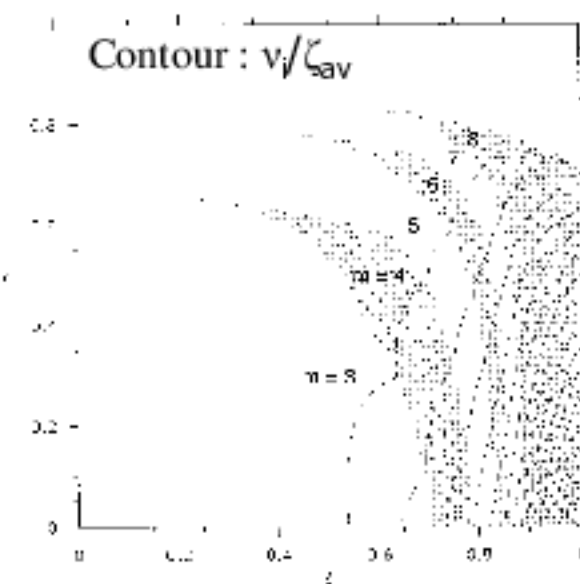
渦口スビー波の理論的研究

- The barotropic instability in tropical cyclone
(Schubert et al. 1999)

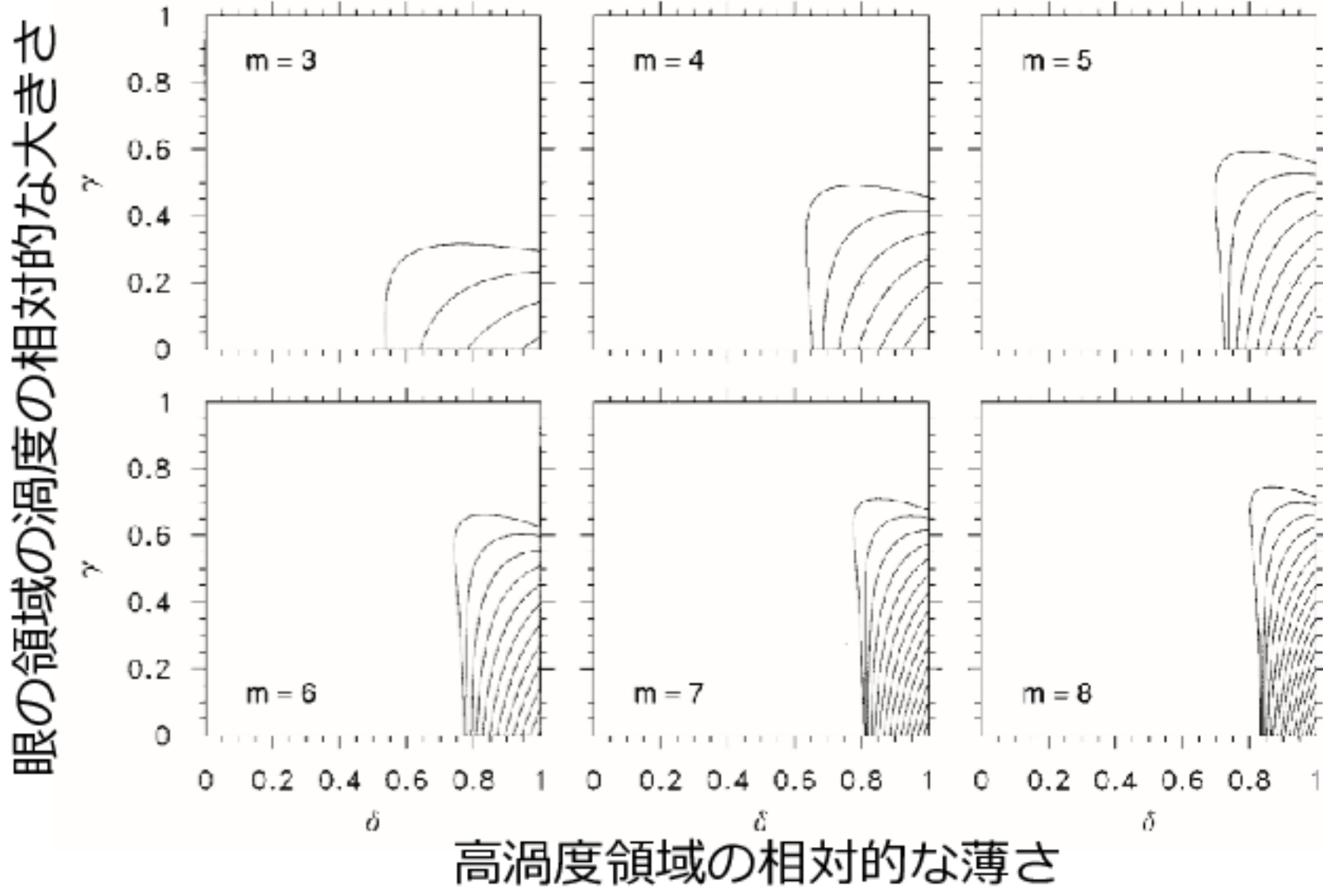
$$\left(\frac{\partial}{\partial t} + \bar{\omega} \frac{\partial}{\partial \phi} \right) \nabla^2 \psi' - \frac{\partial \psi'}{\partial \phi} \frac{d\zeta}{dr} = 0,$$



$$\delta = \frac{r_1}{r_2}$$
$$\gamma = \frac{\xi_1 + \xi_2}{\delta^2 \xi_1 + \xi_2}$$



渦口スピー波の成長率



(Schubert et al., 1999)

まとめ：台風ライクな水平2次元渦

- 台風の進路を順圧非発散モデルで表現
 - 指向流でおおむね進路は決まる
 - ベータジャイア効果
 - 表現できない効果としては非断熱加熱など
- 渦口スビー波
 - 基本場を大きなスケールの渦としたときの、それより小さなスケールの渦度擾動の振舞い。
 - 基本場の流れに相対的な位相速度は基本場の渦度が大きい方を右に見て伝播する。
(通常の惑星口スビー波との類似)
 - 中心から外側に伝播するとき、群速度がゆっくりになつてある半径に滞留する。
 - 台風の進路、外側壁雲の形成、壁雲近傍のメソ渦などとの関連が議論されている。

基礎編を終えて・・・

- ・台風をGFD的に捉える面白さが伝わったのであればうれしい。
- ・成熟期の台風の基本はここまで述べてきたようにそれなりに整理されているが、
 - 台風の発生
 - 台風の急発達
 - 多重壁雲やレインバンドなどの構造
 - 環境場との相互作用
- などは、まだ十分に整理されていない印象。

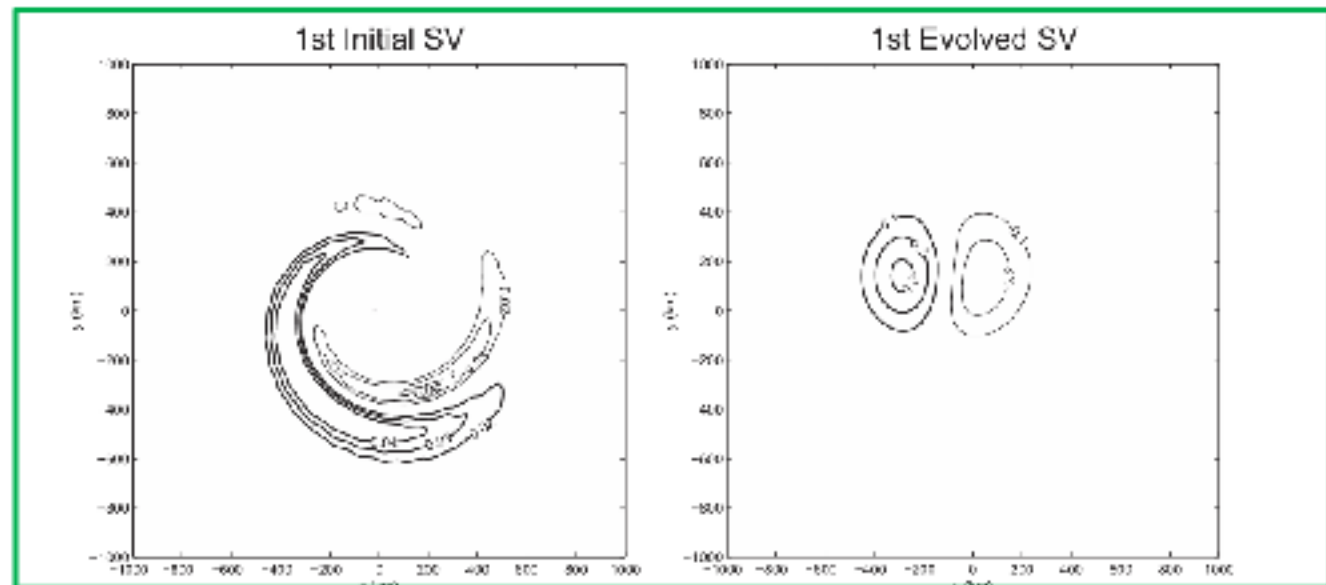
おまけ

成長する渦度擾乱

- β 面モデルでは波数1成分が卓越し、台風進路への影響が示唆される。現実的な台風進路の感度解析でも似た構造が。

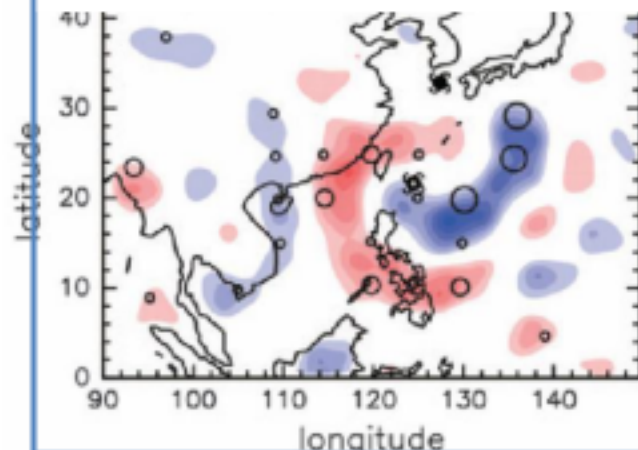
順圧非発散モデル
(β 平面)

(Yamaguchi and Nolan, 2011)

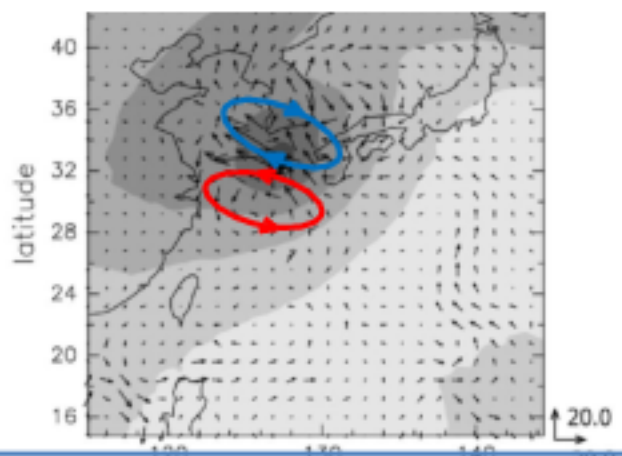


WRFを用いた台風
進路の感度解析
(Ito and Wu, 2013)

進路に影響する渦度初期擾動



時間発展させた風速擾動



参考文献

- * Aonashi, K., K. Okamoto, T. Tashima, T. Kubota, and K. Ito. (2016). Sampling error damping method for a cloud-resolving model using a dual-scale neighboring ensemble approach. *Monthly Weather Review*, **144**(12), 4751-4770,
- * Bajer, K., A. P. Bassom, and A. D. Gilbert. (2004). Vortex motion in a weak background shear flow. *Journal of Fluid Mechanics*, **509**, 281-304.
- * Black, P. G., E. A. D'Asaro, W. M. Drennan, and J. R. French, P. P. Niler, T. B. Sanford, E. J. Terrill, E. J. Walsh, and J. A. Zhang. (2007). AIR-SEA EXCHANGE IN HURRICANES: Synthesis of Observations from the Coupled Boundary Layer Air-Sea Transfer Experiment. *Bulletin of the American Meteorological Society*, **88**, 357.
- * Bolton, D.. (1980). The computation of equivalent potential temperature. *Monthly Weather Review*, **108**, 1046-1053.
- * Bryan, G. H.. (2008). On the computation of pseudoadiabatic entropy and equivalent potential temperature. *Monthly Weather Review*, **136**, 5230-5245.
- * Bryan, G. H., and R. Rotunno. (2009). The maximum intensity of tropical cyclones in axisymmetric numerical model simulations. *Monthly Weather Review*, **137**, 1770-1789.
- * Carr III, L. E., and R. L. Elsberry. (1990). Observational evidence for predictions of tropical cyclone propagation relative to environmental steering. *Journal of the Atmospheric Sciences*, **47**, 542-546.
- * Chan, Johnny, and Jeffrey Kepert. (Eds.) (2010). *Global perspectives on tropical cyclones: from science to mitigation*. World Scientific, Vol.
-

4.

- * Charney, J. G., and A. Eliassen. (1964). On the growth of the hurricane depression. *Journal of the Atmospheric Sciences*, **21**, 68-75.
- * Craig, G. C., and S. L. Gray. (1996). CISK or WISHE as the mechanism for tropical cyclone intensification. *Journal of the Atmospheric Sciences*, **53**, 3528-3540.
- * D'Asaro, E. A., P. Black, L. Centurioni, P. Harr, S. Jayne, I. -I. Lin, C. Lee, J. Morzel, R. Mrvaljevic, P. P. Niiler, L. Rainville, T. Sanford, and T. Y. Tang. (2011). Typhoon-ocean interaction in the western North Pacific: Part 1. *Oceanography*, **24**, 24-31.
- * Donelan, M. A., B. K. Haus, N. Real, W. J. Plant, M. Stiassnie, H. C. Graber, O. B. Brown, and E. S. Saltzman. (2004). On the limiting aerodynamic roughness of the ocean in very strong winds. *Geophysical Research Letters*, **31**.
- * Dvorak, V. F.. (1984). Tropical cyclone intensity analysis using satellite data. *US Department of Commerce, National Oceanic and Atmospheric Administration, National Environmental Satellite, Data, and Information Service, Vol. 11*.
- * Emanuel, K.. (2005). Divine wind: the history and science of hurricanes. *Oxford University Press*.
- * Emanuel, K., C. DesAutels, C. Holloway, and R. Korty. (2004). Environmental control of tropical cyclone intensity. *Journal of the Atmospheric Sciences*, **61**, 843-858.
- * Emanuel, K. A.. (1983). On assessing local conditional symmetric instability from atmospheric soundings. *Monthly Weather Review*, **111**, 2016-2033.
-

- * Emanuel, K. A.. (1986). An air-sea interaction theory for tropical cyclones. Part I: Steady-state maintenance. *Journal of the Atmospheric Sciences*, **43**, 585-604.
- * Emanuel, K. A., J. David Neelin, and C. S. Bretherton. (1994). On large-scale circulations in convecting atmospheres. *Quarterly Journal of the Royal Meteorological Society*, **120**, 1111-1143.
- * Gent, P. R., and J. C. McWilliams. (1986). The instability of barotropic circular vortices. *Geophysical and Astrophysical Fluid Dynamics*, **35**, 209-233.
- * Gentry, M. S., and G. M. Lackmann. (2010). Sensitivity of simulated tropical cyclone structure and intensity to horizontal resolution. *Monthly Weather Review*, **138**, 688-704.
- * Ginis, I., and G. Sutyrin. (1995). Hurricane-generated depth-averaged currents and sea surface elevation. *Journal of physical oceanography*, **25**, 1218-1242.
- * Hawkins, H. F., and D. T. Rubenam. (1968). Hurricane Hilda, 1964. *Monthly Weather Review*, **96**, 701-706.
- * Holland, G. J., and R. T. Merrill. (1984). On the dynamics of tropical cyclone structural changes. *Quarterly Journal of the Royal Meteorological Society*, **110**, 723-745.
- * Houze Jr, R. A.. (2010). Clouds in tropical cyclones. *Monthly Weather Review*, **138**, 293-344.

* Huang, Y.-H., M. T. Montgomery, and C.-C. Wu. (2012). Concentric eyewall formation in Typhoon Sinlaku (2008). Part II: Axisymmetric dynamical processes. *Journal of the Atmospheric Sciences*, **69**, 662-674.

* Iribarne, J. V., and W. L. Godson. (Eds.) (1973). Thermodynamic Processes in the Atmosphere. in *Atmospheric Thermodynamics*. Springer, 97-132.

* Ito, K.. (2016). Errors in tropical cyclone intensity forecast by RSMC Tokyo and statistical correction using environmental parameters. *SOLA*, **12**, 247-252.

* Ito, K. and C.-C. Wu. (2013). Typhoon-position-oriented sensitivity analysis. Part I: Theory and Verification. *Journal of the Atmospheric Sciences*, **70(8)**, 2525-2546.

* Ito, K., M. Kunii, T. Kawabata, K. Saito, K. Aonashi, and L. Duc. (2016). Mesoscale hybrid data assimilation system based on JMA nonhydrostatic model. *Monthly Weather Review*, **144(9)**, 3417-3439.

* Ito, K., S. Kanda, and N. Takagaki. Horizontal transport of sea spray intensifying tropical cyclones. in revision.

* Ito, K., T. Kawabata, T. Kato, Y. Honda, Y. Ishikawa and T. Awaji. (2013). Simultaneous optimization of air-sea exchange coefficients and initial condition near a tropical cyclone with JNoVA. *Journal of the Meteorological Society of Japan*, **91(3)**, 337-353.

* Ito, K., T. Kuroda, K. Saito and A. Wada. (2015). Forecasting a large number of tropical cyclone intensities around Japan using a high-resolution atmosphere-ocean coupled model. *Weather and Forecasting*, **30(3)**, 793-808.

- * Ito, K., Y. Ishikawa, and T. Awaji. (2010). Specifying air-sea exchange coefficients in the high-wind regime of a mature tropical cyclone by an adjoint data assimilation method. *SOLA*, **6**, 13-16.
- * Ito, K., Y. Ishikawa, Y. Miyamoto and T. Awaji. (2011). Short-time-scale processes in a mature hurricane as a response to sea surface fluctuations. *Journal of the Atmospheric Sciences*, **68(10)**, 2250-2272.
- * Ito, K., Y. Naito, and S. Yoden. (2009). Combined effects of QBO and 11-year solar cycle on the winter hemisphere in a stratosphere-troposphere coupled system. *Geophysical Research Letters*, **36**, L11804.
- * Jacob, S. D., L. K. Shay, A. J. Mariano, and P. G. Black. (2000). The 3D oceanic mixed layer response to Hurricane Gilbert. *Journal of physical oceanography*, **30**, 1407-1429.
- * Kano, M., S. Miyazaki, K. Ito and K. Hirahara. (2013). An adjoint data assimilation method for optimizing frictional parameters on the afterslip area. *Earth, Planets and Space*, **65(12)**, 1575-1580.
- * Kano, M., S. Miyazaki, Y. Ishikawa, Y. Hiyoshi, K. Ito, and K. Hirahara. (2015). Real data assimilation for optimization of frictional parameters and prediction of afterslip in the 2003 Tokachi-oki earthquake inferred from slip velocity by an adjoint method. *Geophysical Journal International*, **203(1)**, 646-663.
- * Kawabata, T., K. Ito, and K. Saito. (2014). Recent progress of the NHM-4DVAR towards a super-high resolution data assimilation. *SOLA*, **10**, 145-149.
- * Kossin, J. P., and W. H. Schubert. (2004). Mesovortices in hurricane Isabel. *Bulletin of the American Meteorological Society*, **85**, 151-153.
-

- * Kunii, M., K. Ito, and A. Wada. (2017). Preliminary test of a data assimilation system with a regional high-resolution atmosphere-ocean coupled model based on an ensemble Kalman filter. *Monthly Weather Review*, **145**(2), 565-581.
- * Lin, I.-I., C.-C. Wu, I.-F. Pun, and D.-S. Ko. (2008). Upper-ocean thermal structure and the western North Pacific category 5 typhoons. Part I: Ocean features and the category 5 typhoons' intensification. *Monthly Weather Review*, **136**, 3288-3306.
- * Lin, I.-I., C.-C. Wu, K. A. Emanuel, I.-H. Lee, C.-R. Wu, and I.-F. Pun. (2005). The interaction of Supertyphoon Maemi (2003) with a warm ocean eddy. *Monthly Weather Review*, **133**, 2635-2649.
- * Luu, Q., K. Ito, Y. Ishikawa and T. Awaji. (2011). Tidal transport through the Tsugaru strait – part I: Characteristics of the major tidal flow and its residual current. *Ocean Science Journal*, **46**(4), 273-288.
- * Marks Jr, F. D., and R. A. Houze Jr. (1987). Inner core structure of Hurricane Alicia from airborne Doppler radar observations. *Journal of the Atmospheric Sciences*, **44**, 1296-1317.
- * Mitsuta, Y., T. Suenobu, and T. Fujii. (1988). Supergradient surface wind in the eye of a typhoon. *Journal of the Meteorological Society of Japan. Ser. II*, **66**, 505-508.
- * Montgomery, M. T., M. M. Bell, S. D. Aberson, and M. L. Black. (2006). Hurricane Isabel (2003): New insights into the physics of intense storms. Part I: Mean vortex structure and maximum intensity estimates. *Bulletin of the American Meteorological Society*, **87**, 1335-1347.
- * Moon, I.-J., I. Ginis, and T. Hara. (2004). Effect of surface waves on airsea momentum exchange. Part II: Behavior of drag coefficient under
-

tropical cyclones. *Journal of the Atmospheric Sciences*, **61**, 2334-2348.

* Nakano, S., K. Ito, K. Suzuki, and G. Ueno. (2016). Decadal-scale meridional shift of the typhoon recurvature latitude over five decades. *International Journal of Climatology*, **36**, 3819-3827.

* Ooyama, K.. (1964). A dynamical model for the study of tropical cyclone development. *Geofisica Internacional (Mexico)*, **4**, 187-198.

* Ooyama, K.. (1969). Numerical simulation of the life cycle of tropical cyclones. *Journal of the Atmospheric Sciences*, **26**, 3-40.

* Ooyama, K. V.. (1982). Conceptual evolution of the theory and modeling of the tropical cyclone. *Journal of the Meteorological Society of Japan. Ser. II*, **60**, 369-380.

* Orlanski, L.. (1975). A rational subdivision of scales for atmospheric processes. *Bulletin of American Meteorological Society*, **56**, 527-530.

* Persing, J., and M. T. Montgomery. (2003). Hurricane superintensity. *Journal of the Atmospheric Sciences*, **60**, 2349-2371.

* Powell, M. D., P. J. Vickery, and T. A. Reinhold. (2003). Reduced drag coefficient for high wind speeds in tropical cyclones. *Nature*, **422**, 279-283.

* Qiu, X., Z.-M. Tan, and Q. Xiao. (2010). The roles of vortex Rossby waves in hurricane secondary eyewall formation. *Monthly Weather Review*, **138**, 2092-2109.

* Rotunno, R., and K. A. Emanuel. (1987). An air-sea interaction theory for tropical cyclones. Part II: Evolutionary study using a nonhydrostatic

axisymmetric numerical model. *Journal of the Atmospheric Sciences*, **44**, 542-561.

* Saito, K., T. Tsuyuki, H. Seko, F. Kimura, T. Tokioka, T. Kuroda, L. Due, K. Ito, T. Oizumi, G. Chen, J. Ito, and SPIRE Field3 Mesoscale NWP group. (2013). Superhigh-resolution meso scale weather prediction. *Journal of Physics: Conference Series*, **454**, 012073.

* Scharroo, R., W. H. Smith, and J. L. Lillibridge. (2005). Satellite altimetry and the intensification of Hurricane Katrina. *Eos, Transactions American Geophysical Union*, **86**, 366-366.

* Schechter, D. A., and M. T. Montgomery. (2007). Waves in a cloudy vortex. *Journal of the Atmospheric Sciences*, **64**, 314-337.

* Schubert, W. H., and J. J. Hack. (1983). Transformed Eliassen balanced vortex model. *Journal of the Atmospheric Sciences*, **40**, 1571-1583.

* Schubert, W. H., M. T. Montgomery, R. K. Taft, T. A. Quinn, S. R. Fulton, J. P. Kossin, and J. P. Edwards. (1999). Polygonal eyewalls, asymmetric eye contraction, and potential vorticity mixing in hurricanes. *Journal of the Atmospheric Sciences*, **56**, 1197-1223.

* Shapiro, L. J., and H. E. Willoughby. (1982). The response of balanced hurricanes to local sources of heat and momentum. *Journal of the Atmospheric Sciences*, **39**, 378-394.

* Smith, R. K.. (1997). On the theory of CISK. *Quarterly Journal of the Royal Meteorological Society*, **123**, 407-418.

* Wang, Y.. (2012). Recent research progress on tropical cyclone structure and intensity. *Tropical cyclone Res. Rev.*, **1**, 254-275.

* Yablonsky, R. M., and I. Ginis. (2009). Limitation of one-dimensional ocean models for coupled hurricaneocean model forecasts. *Monthly Weather Review*, **137**, 4410-4419.

* Yamaguchi, M., M. Nakagawa, J. Ishida, and H. Sato. (2017). WGNE Intercomparison of Tropical Cyclone Forecasts by Operational NWP Models: A Quarter-Century and Beyond. *Bulletin of the American Meteorological Society*.

* Yamaguchi, M., D. S. Nolan, M. Iskandarani, S. J. Majumdar, M. S. Peng, and C. A. Reynolds. (2011). Singular vectors for tropical cyclonelike vortices in a nondivergent barotropic framework. *Journal of the Atmospheric Sciences*, **68**, 2273-2291.

* Yano, J.-I., and K. Emanuel. (1991). An improved model of the equatorial troposphere and its coupling with the stratosphere. *Journal of the Atmospheric Sciences*, **48**, 377-389.

* Zhang, F., and K. Emanuel. (2016). On the role of surface fluxes and WISHE in tropical cyclone intensification. *Journal of the Atmospheric Sciences*, **73**, 2011-2019.

* 伊藤耕介, 沢田雅洋, 山口宗彦. 大気モデル及び結合モデルを用いた北西太平洋全域台風予測実験, submitted.

* 坪木和久, 伊藤耕介(分担), 中澤哲夫・筆保弘徳(編). (2013). メソ構造. 気象研究ノート 226 号「台風研究の最前線(上) -台風力学-」, 93-126.

* 加納将行, 宮崎真一, 伊藤耕介, 平原和朗, (2010). 余効すべり人工データを用いたアジョイント法による摩擦パラメータ・初期値の推定. 地震第2輯, 第63巻2号, 57-69.

* 伊藤耕介. (2010). テクニカル分析の立場をベースとした複勝馬券の的中確率に関する統計モデル. 大阪商業大学アミューズメント産業研究所紀要, 第12号, 301-320.

* Prof. Yu-Qing Wang 集中講義資料@東京大学柏キャンパス (2010)

* 筆保弘徳, 伊藤耕介, 山口宗彦, 新田尚, 中澤哲夫・斎藤和雄 (監修). (2014). 台風の正体 (気象学の新潮流 2), 朝倉書店, p.171.

* 吉崎正憲, 加藤輝之. (2007). 豪雨・豪雪の気象学. 朝倉書店,

* 板野 稔久, (2010). 溝ロスビー波. 天氣, 57(7), 8184.

* 伊藤耕介, 仲田真理子, 宮里結衣, 宮本育利, 善村夏実. (2015). RSMC Tokyo 台風強度予報誤差データベースの構築と MPI を用いた補正. 2015 年度日本気象学会秋季大会.

* 伊藤耕介. (2011). 台風強度の再現性向上に関するアジョイント手法を用いた基礎的研究. 博士論文.

* 坪木和久・伊藤耕介. (2013). メソ構造 中澤哲夫・筆保弘徳 (編). 台風研究の最前線, 気象研究ノート 226-227 号. デジタル台風.